

# บทที่ 1

## บทนำ

ในปัจจุบันมีการใช้ยานพาหนะขนส่งกันเป็นจำนวนมาก ยานพาหนะเหล่านั้นใช้เชื้อเพลิงในการขับเคลื่อน ในปัจจุบันน้ำมันเชื้อเพลิงมีราคาสูงมากและกำลังจะลดลง จึงได้มีการพัฒนาการนำพลังงานไฟฟ้ามาใช้ในการขับเคลื่อนด้วยมอเตอร์ โดยใช้มอเตอร์กระแสตรงขนาด 24 โวลต์ 500 วัตต์ และเพื่อศึกษาความเป็นไปได้ในการนำไปใช้งานจริงและนำไฟฟ้ามาเป็นพลังงานเป็นการลดมลภาวะทางอากาศและเป็นการประหยัดพลังงานมากขึ้น

### 1.1 ความสำคัญของปัญหา

1. ลดการใช้น้ำมันและก๊าซธรรมชาติที่มีราคาค่อนข้างที่จะสูง
2. เกิดความสะดวกและประหยัดค่าใช้จ่ายเล็กน้อยกำลังให้เป็นประโยชน์
3. ไม่มีมลพิษและรักษาสิ่งแวดล้อมที่จะเกิดขึ้น
4. ลดค่าใช้จ่ายในการเดินทางและช่วยประหยัดพลังงาน

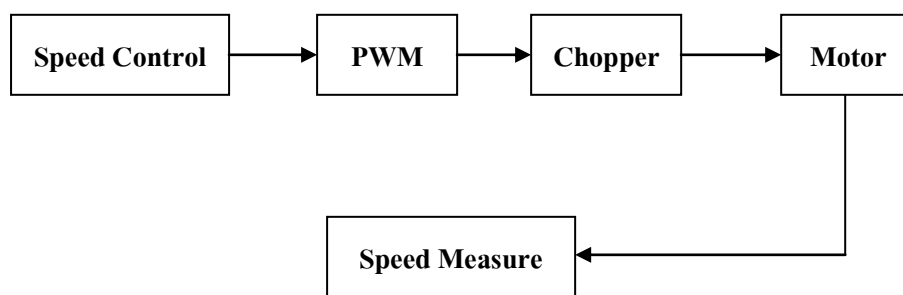
### 1.2 วัตถุประสงค์ของโครงการ

1. เพื่อสร้างรถจักรยานยนต์ไฟฟ้าขับเคลื่อนด้วยมอเตอร์ไฟฟ้ากระแสตรง
2. เพื่อให้รถสามารถวิ่งได้ด้วยความเร็ว 40 กิโลเมตรต่อชั่วโมง และรับน้ำหนักโดยรวมไม่เกิน 180 กิโลกรัม
3. เพื่อศึกษาวิธีการขับเคลื่อนมอเตอร์โดยใช้วงจรชอปเปอร์แบบ 2 ควอดแดนต์
4. เพื่อประยุกต์หลักการของอิเล็กทรอนิกส์กำลังและแสดงผลแบบดิจิทัล
5. เพื่อวิเคราะห์หลักการทำงานของตัวขับเคลื่อน

### 1.3 ขอบเขตของโครงการ

1. สร้างตัวขับเคลื่อนมอเตอร์ไซค์ไฟฟ้าโดยใช้วงจรชอปเปอร์
2. ใช้มอเตอร์ไฟฟ้ากระแสตรงขนาด 500 วัตต์ 24 โวลต์ เป็นต้นต้นกำลังในการขับเคลื่อน
3. ใช้วงจรดีซีชอปเปอร์แบบ 2 ควอดแดนซ์ ในการควบคุมมอเตอร์เป็นการเบรกแบบ Regenerative
4. วัดขนาดความเร็วและแสดงผลแบบดิจิทัล

### 1.4 โครงสร้างของโครงการ



ภาพที่ 1.1 โครงสร้างของโครงการ

### 1.5 ประโยชน์ที่ได้รับจากโครงการ

1. เพื่อเป็นการอนุรักษ์พลังงานในการขับเคลื่อนเครื่องยนต์
2. มีความสะดวกในการใช้งานเนื่องจากการดูแลรักษาทำได้ง่าย
3. มีความประหยัดกว่าเพราะไม่ใช้น้ำมันในการขับเคลื่อน
4. เพื่อเป็นยานพาหนะแบบไร้มลพิษเพราะใช้ไฟฟ้าในการขับเคลื่อนเครื่องยนต์

## 1.6 วรรณกรรมที่เกี่ยวข้อง

1. เชนนะ ทีฆายุพรรณ,ณัฐพล ม่วงบาง, ปิยพงษ์ สุขรักษ์, ปราบฤต เหลียงประดิษฐ์, 2549 : การปรับปรุงระบบส่งจ่ายกำลังของรถจักรยานยนต์ของมอเตอร์ไฟฟ้ากระแสตรงในการขับเคลื่อนรถให้สามารถวิ่งได้ที่ความเร็ว 40 กิโลเมตรต่อชั่วโมง ใช้มอเตอร์ไฟฟ้ากระแสตรงชนิดแม่เหล็กถาวรขนาดกำลังไฟฟ้า 500 วัตต์ แรงดันไฟฟ้า 24 โวลต์ ควบคุมความเร็วมอเตอร์โดยใช้วงจรชอปเปอร์และมีการติดตั้งชุดชาร์จประจุแบตเตอรี่ไว้กับตัวรถเพื่อความสะดวกในการทำงาน

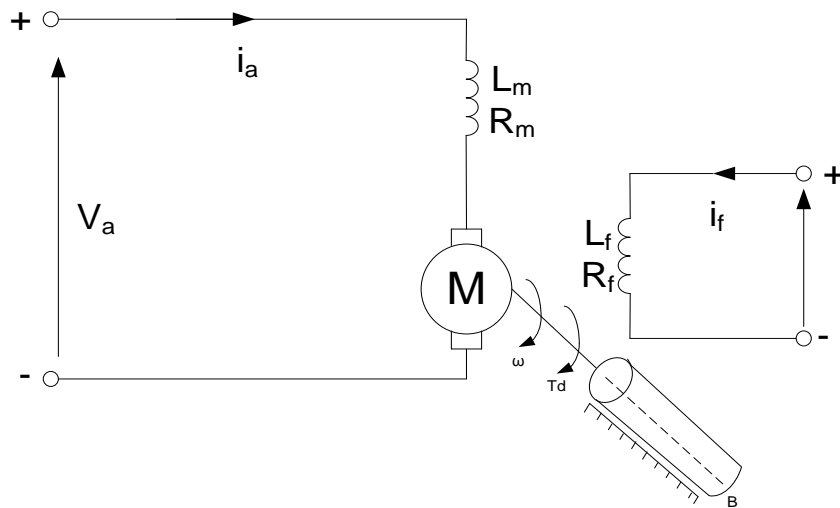
2. นครินทร์ แจ่มนิล, สมบูรณ์ เอี่ยมอากาศ,ดำรงศ์ ผ่องศรี, นิमित บุญภิรมย์, 2551 : นำเสนอรถจักรยานยนต์ไฟฟ้าขับเคลื่อนด้วยมอเตอร์ไฟฟ้ากระแสตรงได้ทำการออกแบบและสร้างรถจักรยานยนต์ไฟฟ้าที่สามารถปรับความเร็วได้ โดยใช้ ดีซีมอเตอร์ ขนาด 36 โวลต์ เป็นตัวขับเคลื่อน โดยติดตั้งมอเตอร์ไว้ที่ล้อหลังและใช้โซ่เป็นตัวส่งกำลังจากเฟืองหน้าซึ่งติดกับมอเตอร์สามารถวิ่งด้วยความเร็วประมาณ 40 กิโลเมตรต่อชั่วโมง

## บทที่ 2

### ทฤษฎีที่เกี่ยวข้อง

#### 2.1 คุณลักษณะพื้นฐานของมอเตอร์ไฟฟ้ากระแสตรง [1]

วงจรเทียบเคียงของมอเตอร์ไฟฟ้ากระแสตรงแบบกระตุ้นแยก มีลักษณะดังภาพที่ 2.1



ภาพที่ 2.1 วงจรเทียบเคียงของมอเตอร์ไฟฟ้ากระแสตรงแบบกระตุ้นแยก

เมื่อมอเตอร์ถูกกระตุ้นด้วยกระแสที่ฟิวส์ ( $i_f$ ) และกระแสที่อาร์เมเจอร์ ( $i_a$ ) ภายในวงจรอาร์เมเจอร์ของมอเตอร์ทำให้เกิดแรงดันแรงดันต้านกลับ (BackEmf) และแรงบิดที่โหลด ณ ระดับความเร็วคงที่  $i_f$  ของมอเตอร์ไฟฟ้ากระแสตรงแบบกระตุ้นแยกไม่ได้ขึ้นอยู่กับนั่นคือหมายถึงการเปลี่ยนแปลงใด ๆ ของ  $i_a$  ไม่มีผลกระทบต่อ  $i_f$  นอกจากนี้  $i_f$  ยังมีค่ามากกว่า  $i_a$  นี้มาจากภาพที่ 2.1 เราสามารถหาค่ากระแสที่ฟิวส์ชั่วขณะ

ได้สมการ

$$V_f = R_f I_f + L_f \frac{di_f}{dt} \quad (2.1)$$

หาค่ากระแสอาร์มเจอร์ชั่วขณะได้จากสมการ

$$V_a = R_a I_a + L_a \frac{di_a}{dt} + e_g \quad (2.2)$$

แรงดันต้านกลับ ( $e_g$ ) ของมอเตอร์ซึ่งเรียกว่า แรงดันความเร็ว (Speed Voltage) มีค่าเป็น

$$e_g = K_v \omega i_f \quad (2.3)$$

แรงบิดที่อาร์มเจอร์ (Torque Developed ;  $T_d$ ) มีค่าเป็น

$$\tau_d = K_t i_f i_a \quad (2.4)$$

$\tau_d$  มีค่าเท่ากับแรงบิดที่ส่งไปยังโหลด ดังนี้

$$\tau_d = J \frac{d\omega}{dt} + B\omega + \tau_L \quad (2.5)$$

เมื่อ

$\omega$  = ความเร็วเชิงมุมหรือความเร็วมอเตอร์ มีหน่วยเป็นเรเดียนต่อวินาที (rad/s) หรือ  
รอบต่อนาที (rpm)

$B$  = ค่าคงที่ของแรงเสียดทานมีหน่วยเป็น N.m/ เรเดียนต่อวินาที (rad/s)

$K_v$  = ค่าคงที่ของแรงดัน มีหน่วยเป็น โวลต์ต่อแอมแปร์- เรเดียนต่อวินาที (V/A-rad/s)

$K_t = K_v$  = ค่าคงที่ของแรงบิด

$L_a$  = อินดักแตนซ์ของวงจรรอาร์มเจอร์ มีหน่วยเป็นเฮนรี (H)

$L_f$  = อินดักแตนซ์ของวงจรมอเตอร์ มีหน่วยเป็นเฮนรี (H)

$R_a$  = ความต้านทานของวงจรรอาร์มเจอร์ มีหน่วยเป็น ( $\Omega$ )

$R_f$  = ความต้านทานของวงจรมอเตอร์ มีหน่วยเป็น ( $\Omega$ )

ขณะสภาวะคงที่ (Steady State) ค่าอนุพันธ์เวลา (Time Derivatives; dt) จากสมการเหล่านี้  
เป็นศูนย์เป็นผลให้ปริมาณต่าง ๆ ที่ปรากฏในสมการข้างบนนี้ค่าเฉลี่ยที่สภาวะคงที่ ดังนี้คือ

$$V_f = R_f I_f \quad (2.6)$$

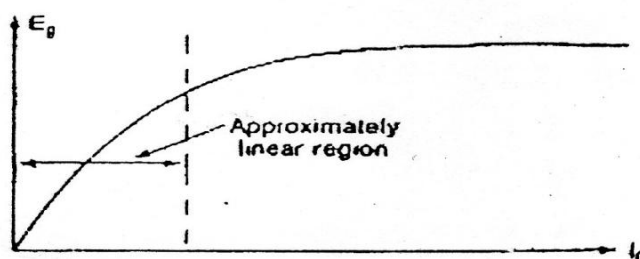
$$E_g = K_a \omega I_f \quad (2.7)$$

$$\begin{aligned}
 V_a &= R_a I_a + E_g \\
 &= R_a I_a + K_v \omega I_g
 \end{aligned} \tag{2.8}$$

$$\begin{aligned}
 \tau_d &= K_t I_f I_a \\
 &= B\omega + \tau_d
 \end{aligned} \tag{2.9}$$

กำลังไฟฟ้าที่อาร์เมเจอร์ (Developed Power;  $P_d$ ) มีค่าเป็น (2.10)

ความสัมพันธ์ระหว่างกระแสฟิลด์ ( $i_f$ ) กับแรงดันต้านกลับ ( $E_g$ ) จะได้ว่าไม่เป็นเชิงเส้นเนื่องจากการอิ่มตัวแม่เหล็ก ซึ่งเห็นได้จากคุณลักษณะของการเกิดแม่เหล็ก (Magnetization Characteristic) ดังภาพที่ 2.2



ภาพที่ 2.2 ความสัมพันธ์ระหว่างกระแสฟิลด์ ( $i_f$ ) กับแรงดันต้านกลับ ( $E_g$ )

หาค่าความเร็วเชิงมุมหรือความเร็วของมอเตอร์ได้จากสมการ คือ

$$\omega = \frac{V_a - R_a I_a}{K_v I_f} = \frac{V_a - R_a I}{K_v I_f / R_f} \tag{2.11}$$

จากสมการ 2.9 ทำให้ทราบว่า การเปลี่ยนแปลงความเร็วของมอเตอร์ทำได้โดย

1. ควบคุมแรงดันที่อาร์เมเจอร์  $V_a$  ซึ่งเรียกว่า การควบคุมแรงดัน
2. ควบคุมกระแสฟิลด์ ซึ่งเรียกว่า การควบคุมกระแสฟิลด์
3. ควบคุมกระแสที่อาร์เมเจอร์ ( $I_a$ ) ขณะ ( $I_f$ ) มีค่าคงที่

ความเร็วซึ่งสอดคล้องกับค่าพิคคของ ค่าพิคคของ และค่าพิคคของ จะเรียกว่าความเร็วฐาน (Base Speed) หรือความเร็วพิคค

สำหรับคุณลักษณะของมอเตอร์ไฟฟ้ากระแสตรงแบบกระตุ้นแยกนี้เมื่อมีการนำสมการ 2.9 มาร่วม พิจารณาทำให้ทราบว่า :

กรณีความเร็วของมอเตอร์ต่ำกว่าความเร็ว หรือฐานเร่งความเร็วให้ถึงความเร็วฐาน ค่า จะคงที่ ดังนั้น เมื่อความเร็วของมอเตอร์ต่ำกว่าความเร็วฐาน จึงขึ้นอยู่กับค่าของแรงดันอาร์เมเจอร์ ( $V_a$ ) เพื่อให้ได้แรงบิดคงที่

กรณีความเร็วของมอเตอร์สูงกว่าความเร็วฐาน ค่าแรงดันอาร์เมเจอร์ ( $V_a$ ) จะคงที่ ดังนั้น ความเร็วของมอเตอร์จึงขึ้นอยู่กับค่าของ  $I_f$  (เพื่อให้ได้  $P_d$  คงที่)

## 2.2 ทฤษฎีพื้นฐานของวงจรควบคุม

วงจรควบคุมนี้จะเป็นวงจรที่ใช้เปลี่ยนแปลงแรงดันกระแสตรงจากแหล่งจ่ายไฟฟ้ากระแสตรงที่มีแรงดันระดับหนึ่งไปเป็นอีกระดับหนึ่ง การนำไปใช้งานส่วนมากจะเปลี่ยนแรงดันเพื่อจ่ายให้กับอาร์เมเจอร์ของมอเตอร์กระแสตรง เพื่อช่วยในการเริ่มเดินและควบคุมความเร็วของมอเตอร์ และยังสามารถใช้เป็นแหล่งจ่ายไฟฟ้ากระแสตรงที่เปลี่ยนแปลงแรงดันได้สะดวก

หลักการเบื้องต้นของวงจรควบคุม สามารถพิจารณาจากวงจรพื้นฐานในวงจรประกอบด้วย แหล่งจ่ายไฟฟ้ากระแสตรงสวิตช์โพลดเป็นความต้านทานของวงจรที่ใช้งานจริงจะใช้เพาเวอร์ทรานซิสเตอร์ เอสซีอาร์มอสเฟสและ ไอจีบีที ทำหน้าที่เป็นสวิตช์ แต่ในโครงการนี้จะใช้ ไอจีบีที เป็นสวิตช์ซึ่งตอบสนองความถี่ได้สูงเมื่อปิดสวิตช์ แรงดันที่โพลดจะเท่ากับแรงดันที่แหล่งจ่าย เมื่อเปิดสวิตช์ แรงดันที่โพลดจะเท่ากับศูนย์และแรงดันเฉลี่ยที่โพลดจะเปลี่ยนแปลงตามระยะเวลาที่ปิดสวิตช์และเปิดสวิตช์ จึงเรียกวิธีนี้ว่า“ชอปเปอร์” หรือ D.C – to - D.C.

ถ้าช่วงระยะเวลาที่สวิตช์เปิด-ปิดเปลี่ยนแปลงแตกต่างกัน ก็จะทำให้แรงดันที่โพลด ( $V_0$ ) และกระแสที่โพลดเปลี่ยนแปลง ซึ่งจะมีค่าแรงดันเฉลี่ยและจะมีความสัมพันธ์กับแรงดันไฟฟ้าของแหล่งจ่าย ดังนี้

$$T_{on} = \text{ระยะเวลาที่สวิตช์ปิด}$$

$$T_{off} = \text{ระยะเวลาที่สวิตช์เปิด}$$

$$T = \text{ระยะเวลาในหนึ่งไซเคิล} = T_{on} + T_{off}$$

$$V_{0(ave)} = \frac{1}{T} \int_0^t V_s \quad (2.12)$$

$$= \frac{V_{s(t)}}{T} \int_0^{T_{on}}$$

$$= \frac{T_{on}}{T} \cdot V_s$$

$$V_{0(ave)} = K \cdot V_s \quad (2.13)$$

ซึ่งค่า  $K = \frac{T_{on}}{T_{on} + T_{off}} = \text{อัตราส่วนระยะเวลาเปิดและเวลาปิด}$

$$= \text{DutyCycle}$$

$$V_{r.m.s} = \sqrt{\frac{1}{T} \int_0^{T_{on}} V_s^2(t) dt} \quad (2.14)$$

$$= V_s \cdot \sqrt{k} \quad (2.15)$$

ลักษณะการเปิด-ปิดสวิตซ์ในวงจรควบคุม สามารถแบ่งออกได้ 3 ลักษณะคือ

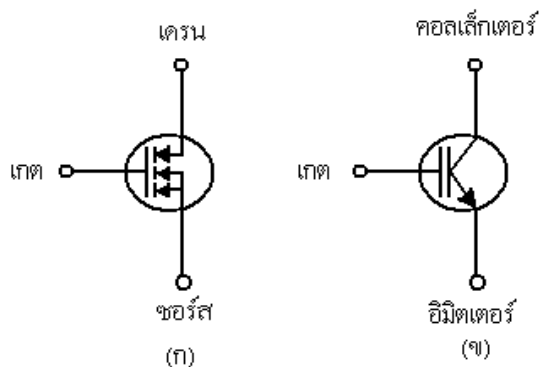
1) เปลี่ยนแปลง และ เปลี่ยนแปลง แต่  $T$  คงที่จะเรียกการทำงานลักษณะนี้ว่า “วิธีการเปลี่ยนแปลงความกว้างของพัลส์” (Pulse Modulation) แรงดันที่โหลดจะมีค่าลดลงเมื่อ ลดลง

2) คงที่และ เปลี่ยนแปลง แต่  $T$  เปลี่ยนแปลงจะเรียกการทำงานลักษณะนี้ว่า “วิธีการเปลี่ยนแปลงความถี่”(Frequency Modulation) แรงดันที่โหลดจะมีค่าลดลงเมื่อ มากขึ้น

3) ลักษณะการทำงานของการทำงานของการเปลี่ยนแปลงความกว้างของพัลส์และเปลี่ยนแปลงความถี่ ซึ่งแบ่งได้ 2 กรณี คือ เปลี่ยนแปลง และ คงที่ แต่  $T$  เปลี่ยนแปลงและ เปลี่ยนแปลง และ เปลี่ยนแปลง และ  $T$  เปลี่ยนแปลงเมื่อพิจารณาจากวงจรแล้วนั้นจะเห็นว่าจะมีแรงดันเอาต์พุตที่เป็นภาพ Wave Form ที่จะเป็นแรงดันไฟฟ้ากระแสตรงได้อย่างไรวิธีแก้ก็คือ สวิตซ์ที่ใช้จะต้องใช้กับสัญญาณที่มีความถี่สูงๆจึงจะมองไม่ออกว่าเป็น Wave Form

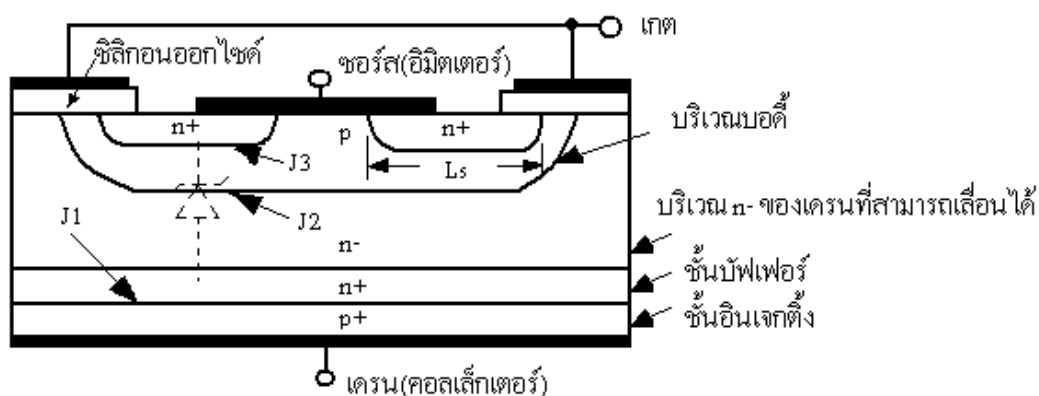


## 2.3 ไอจีบีที (IGBT) ย่อมาจาก Insulate Gate Bipolar Transistor[2]



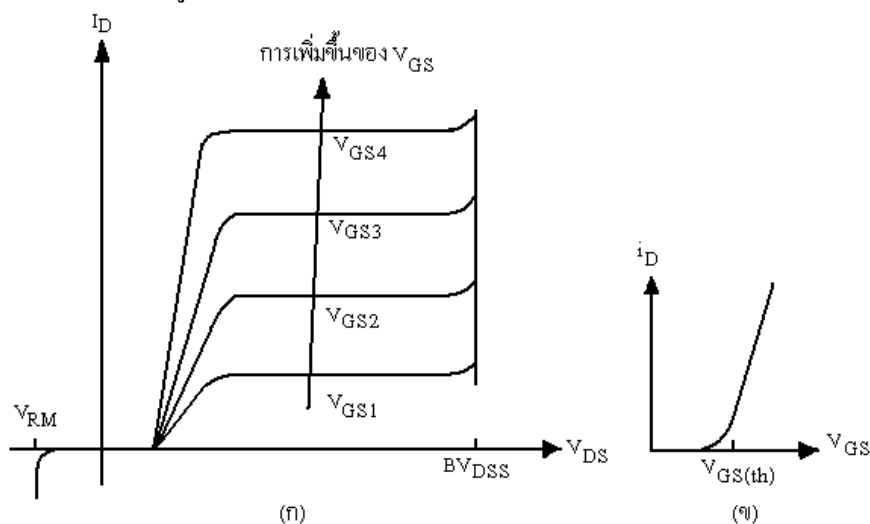
ภาพที่ 2.3 สัญลักษณ์ของไอจีบีทีทั้ง 2 แบบ

ไอจีบีทีค่อนข้างจะเป็นอุปกรณ์ที่ใหม่อยู่แต่พอจะมีใช้กันบ้างในปัจจุบันและมีจำหน่ายกันหลากหลายเบอร์ด้วยกันในปัจจุบันจึงมีสัญลักษณ์อยู่หลายรูปแบบด้วยกันซึ่งขึ้นอยู่กับผู้ผลิตว่าจะมีการกำหนดสัญลักษณ์ใดๆเป็นสัญลักษณ์ประจำสินค้าที่ผลิตขึ้นส่วนมากจะมีอยู่ 2 แบบดังภาพที่ 2.3 ซึ่งเป็นสัญลักษณ์และชื่อเรียกขาต่างๆของไอจีบีทีชนิดเอ็นแซนเนลจากภาพที่ 2.3 ก. จะเห็นว่า มีสัญลักษณ์คล้ายกับมอสเฟตมากๆ เพียงแต่สัญลักษณ์จะมีลูกศรเพิ่มขึ้นมาตรงขาเดรนลักษณะของ ลูกศรจะชี้เข้าหาตัวหรือชี้เข้าหาชั้นของซิลิคอนภายในตัว ไอจีบีทีส่วนสัญลักษณ์ของภาพที่ 2.3 ข. จะเหมือนกับสัญลักษณ์ของทรานซิสเตอร์แต่ตรงขาเกตหรือขาเบสของทรานซิสเตอร์ จะเพิ่มขีด ขึ้นมาอีกหนึ่งขีดเพื่อให้เห็นว่าขีดที่เพิ่มมานั้นไม่ได้ต่อกันโดยตรงกับขาที่ต่อออกมาใช้ภายนอก



ภาพที่ 2.4 ภาพหน้าตัด โครงสร้างพื้นฐานของไอจีบีที

โครงสร้างของไอจีบีทีชนิดเอ็นแซนเนลแสดงเป็นภาพตัดขวางได้ดังภาพที่ 2.4 โครงสร้างส่วนมากจะมีลักษณะเหมือนมอสเฟสจะแตกต่างกันตรงที่ไอจีบีทีจะมีชั้น P+ หรือชั้นอิงเจ็ทติงจะต่ออยู่ระหว่างขาแคทรนซึ่งในชั้นนี้มอสเฟสจะไม่มีและจากการที่ขาเกตถูกกั้นด้วยชั้นของซิลิคอนออกไซด์ (SiO<sub>2</sub>) เป็นผลทำให้ความต้านทานอินพุตที่ขาเกตมีค่าสูงมากเหมือนกับเพาเวอร์มอสเฟส โดยทั่วไปจะมีค่าอยู่ช่วง 10 กิกะโอห์ม



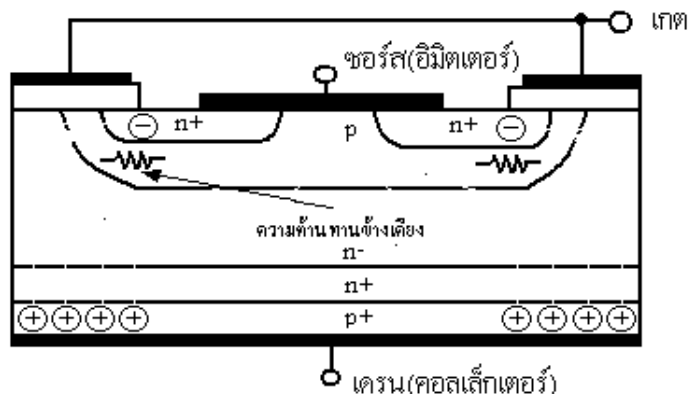
ภาพที่ 2.5 โครงสร้างของไอจีบีทีชนิดเอ็นแซนเนล

ก. กราฟแสดงคุณสมบัติระหว่างกระแสและแรงดันของไอจีบีที

ข. กราฟแสดงลักษณะสมบัติการถ่ายโอนของไอจีบีที

จากผลดังกล่าวทำให้ลักษณะของกราฟแสดงคุณสมบัติของกระแสและแรงดันของ ไอจีบีที มีลักษณะคล้ายกับระหว่างขาเกตและขาซอร์สมากกว่า การควบคุมกระแสที่ขานี้จะเหมือนกับตัวทรานซิสเตอร์ซึ่งกราฟแสดงแสดงคุณสมบัติของกระแสและแรงดันของ ไอจีบีทีแสดงดังภาพที่ 2.5 ก. และภาพที่ 2.5 ข. เป็นกราฟคุณสมบัติการถ่ายโอนกระแสและแรงดันกราฟของทรานซิสเตอร์แต่การควบคุมกระแสแคทรนจะอาศัยการควบคุมแรงดันจากภาพกราฟแสดงให้เห็นว่าส่วนใหญ่ของเส้นกราฟก็จะมีคุณลักษณะเป็นเส้นตรงแต่จะเริ่มโค้งก็ต่อเมื่อกระแสแคทรนต่ำๆ นั่นก็คือจุดที่แรงดันระหว่างขาเกตและขาซอร์สต่ำลงเข้าใกล้แรงดันจุดเริ่มเปลี่ยนสถานะการทำงานที่จุด (Threshold Voltage:  $V_{GS(th)}$ ) โดยถ้าแรงดันระหว่างเกตและซอร์สนี้ต่ำกว่าแรงดันที่จุด  $V_{GS(th)}$  แล้ว ไอจีบีที จะอยู่ในสภาวะหยุดนำกระแสหรือคัทออฟในกรณีของ ไอจีบีทีชนิดพีแซนเนลนั้นคุณสมบัติจะคล้ายกับเอ็นแซนเนลแต่โครงสร้างและสัญลักษณ์มีลักษณะตรงกันข้ามกับเอ็นแซนเนล

### 2.3.1 สถานะนำกระแส



ภาพที่ 2.6 ทิศทางการไหลของอิเล็กตรอนและโฮลในขณะนำกระแส

ขาเดรนเมื่อได้รับแรงดันไบอัสตรงก็จะเป็นบวกเมื่อเทียบกับซอร์สและแรงดันระหว่างเกตกับซอร์สมีค่าเกิน  $V_{GS(th)}$  ประจุไฟฟ้าบวกที่เกิดจากแรงดันที่ขาเกตจะดึงเอาอิเล็กตรอนคือกระแสอิเล็กตรอนที่ไหลจากขาซอร์สผ่านบริเวณใต้เกตมายังบริเวณรอยเลื่อน  $n^-$  จะรวมกับโฮลจะเป็นพาหะข้างน้อยที่ถูกฉีดมาจากชั้นอินเจ็คติง  $p^+$  เพราะที่รอยต่อ  $J1$  ได้รับแรงดันไบอัสตรง ทำให้ไอจีบีที่อยู่ใต้อานำกระแสเกิดการไหลของกระแสไฟฟ้าจากเดรนไปยังซอร์สได้ การรวมกันของโฮลและอิเล็กตรอนภายในบริเวณ  $n^-$  เรียกว่าการมอดูเลตสภาพการนำกระแส ผลการมอดูเลตนี้จะทำให้ความต้านทานของบริเวณ  $n^-$  มีค่าต่ำลงเป็นการเพิ่มความสามารถในการขับผ่านกระแสได้สูงขึ้นซึ่งมีลักษณะเหมือนเพาเวอร์ทรานซิสเตอร์ ผลของความต้านทานที่ลดลงทำให้แรงดันตกคร่อมที่สถานะนำกระแสลดต่ำลงด้วยการสูญเสียกำลังงานขณะนำกระแสจึงลดลงด้วยทิศทางการไหลของอิเล็กตรอนและโฮล

### 2.3.2 สถานะหยุดนำกระแส

เมื่อแรงดันระหว่างขาเกตและซอร์สลดลงต่ำกว่าแรงดัน  $V_{GS(th)}$  จะทำให้มีแรงดันที่ไม่เพียงพอสำหรับการแปรสภาพชั้นบอดี้  $p$  เป็น  $n$  ได้ทำให้บริเวณ  $n^-$  ไม่ตรงกับบริเวณซอร์ส  $n^+$  ไอจีบีที่จึงจะอยู่ในสถานะหยุดนำกระแสและในสถานะนี้รอยต่อ  $J2$  ที่ได้รับแรงดันไบอัสกลับจะทำให้เกิดกระแสรั่วไหลเพียงเล็กน้อยเท่านั้นและนอกจากนี้ยังทำให้เกิดบริเวณปลอดพาหะขึ้นที่รอยต่อ  $J2$  ด้วยบริเวณปลอดพาหะนี้จะมีกรขยายบริเวณกว้างขึ้นจนเกินเข้ามายังบริเวณ  $n^-$  มากกว่าที่จะขยายไปยังบริเวณชั้นบอดี้  $p$  เพราะชั้นบอดี้  $p$  มีความหนาแน่นของสารที่โด๊ปบริเวณรอยเลื่อน  $n^-$

มากเพียงพอที่จะทำให้เกิดการขยายของบริเวณปลอดภัยที่ไม่สามารถแตะกับชั้นอินเจ็ทติ้ง p- ได้ ชั้นบัฟเฟอร์ n+(Buffer Layer) ก็ไม่จำเป็นที่จะต้องทำให้เกิดขึ้นหรือไม่จำเป็นที่จะต้องได้ไปสามเพิ่ม ทั้งนี้เพราะการแตะกันของบริเวณทั้งสองจะทำให้เกิดการพังทลายทางด้านไบอัสตรงสำหรับ ไอจีบี ทีที่ไม่การ ได้ไปสารในชั้นบัฟเฟอร์ n+ นี้จะเรียกว่า ไอจีบีทีแบบสมมาตรซึ่งจะมีอัตราทนแรงดันย้อนกลับ (VRM หรือ BVSDS) เหมาะสำหรับการนำไปประยุกต์ใช้ในวงจรไฟฟ้ากระแสสลับ การลดบริเวณความหนาของ n- ลงแต่ยังคงความสามารถของอัตราทนแรงดันไบอัสตรงไว้ สามารถทำได้โดยเพิ่มของชั้นบัฟเฟอร์ n+ เข้าไปเพื่อป้องกันการแตะกันของบริเวณปลอดภัยกับบริเวณอินเจ็ทติ้ง p+ ซึ่งจะเรียก ไอจีบีทีชนิดนี้ว่า ไอจีบีทีแบบไม่สมมาตร และจากการลดความหนาแน่นทำให้แรงดันตกคร่อมขณะนำกระแสลดต่ำลงเป็นผลให้การสูญเสียกำลังงานลดน้อยลงด้วยแต่ข้อเสียของการเพิ่มของชั้นบัฟเฟอร์ n+ ก็คือ จะลดความสามารถของอัตราทนแรงดันด้านย้อนกลับให้เหลือน้อยลงเพียงไม่กี่สิบโวลต์ นั่นทั้งนี้เมื่อ ไอจีบีทีได้รับแรงดันไบอัสกลับที่ขาเดรน รอยต่อ J1 ซึ่งทั้งสองข้างมีความหนาแน่นในการได้ไปของสารมาก จะไม่สามารถทนแรงดันด้านย้อนกลับได้สูง ดังนั้น ไอจีบีทีชนิดนี้ไม่เหมาะสมที่จะนำมาใช้ในวงจรไฟฟ้ากระแสสลับ

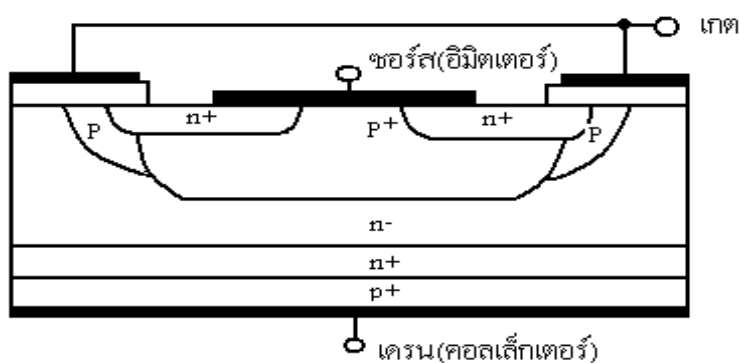
### 2.3.3 การแลตซ์ในไอจีบีที

นอกจากนี้โหนดส่วนใหญ่ที่รวมกับอิเล็กตรอนภายใต้บริเวณ n-แล้วยังมีกระแสโหนดบางส่วนที่ไหลข้ามบริเวณ n- เข้าสู่บริเวณชั้นบอดี p โดยตรงผลของกระแสโหนดนี้ทำให้เกิดแรงดันตกคร่อมความต้านทานข้างเคียงดังภาพที่ 2.6 ถ้าแรงดันนี้มีค่ามากพอคือประมาณ 0.7 โวลต์ จะทำให้รอยต่อ J3 ได้รับไบอัสตรง เป็นผลให้อิเล็กตรอนจากบริเวณซอร์ส n+ ถูกฉีดเข้ามาในชั้นบอดี p ถ้าดูจากภาพที่ 2.8 ค. จะหมายถึงขาเบสและอิมิตเตอร์ของทรานซิสเตอร์เอ็นพีเอ็นจะได้รับแรงดันไบอัสตรงจะส่งผลให้ไทรสเตอร์ซึ่งแฝงอยู่ภายในโครงสร้างของ ไอจีบีทีจะอยู่ในสถานะแลตซ์การนำกระแสทำให้ที่ขาเกตไม่สามารถควบคุมปริมาณกระแสเดรนได้อีกต่อไปแต่การควบคุมของกระแสเดรนนี้จะขึ้นอยู่กับตัวต้านทานที่นำมาต่อในวงจรภายนอกถ้าหากมีการแลตซ์เกิดขึ้นในวงจรเป็นเวลานาน อาจทำให้ ไอจีบีทีเสียหายได้เพราะมีการสูญเสียกำลังงานเกินค่าพิกัดกระแสที่ทนได้ส่วนใหญ่หรือมาตรฐานคู่มือการผลิตมักจะมีการบอกค่ากระแสเดรนสูงสุดที่สามารถไหลผ่าน ไอจีบีทีได้โดยยังไม่เกิดการแลตซ์ขึ้น (IDM) แต่เนื่องจากกระแสเดรนถูกกำหนดหรือควบคุมโดยตรงจากแรงดันระหว่างขาเกตและซอร์สบางครั้งคู่มือบอกแรงดันที่สูงสุดระหว่างขาเกตและซอร์สสูงสุดการแลตซ์ที่กล่าวถึงข้างต้นเรียกว่าการแลตซ์ในหมดสแตติกเพราะเกิดขึ้นเมื่อกระแสที่ไหลในสถานะการนำกระแสมีค่าเกิน IDM แต่ลักษณะการแลตซ์นี้ก็สามารถเกิดขึ้นได้ เรียกว่า โหมดไดนามิกซึ่งจะเกิดขึ้นเมื่อมีการเปลี่ยนการทำงานจากสถานะนำกระแสไปเข้าสู่สถานะหยุดนำกระแส

ได้ด้วยในบางครั้งการแลตซ์นี้เกิดขึ้นได้แม้ว่ากระแสตรงขณะนำกระแสยังมีค่าต่ำกว่าค่า IDM ก็ตามยังส่งผลที่เกิดขึ้นทำให้บริเวณปลอดภัยที่มีการขยายบริเวณของชั้นบอดี p โดยเฉพาะจะขยายเข้าสู่บริเวณ n- มากกว่า เพราะมีความหนาแน่นของการโด๊ปสารที่ต่ำกว่าการขยายบริเวณของปลอดภัยอย่างรวดเร็ว จะทำให้โฮลที่ค้างอยู่ในบริเวณ n- ขณะนำกระแสและยังไม่ได้รวมกับอิเล็กตรอนหลุดรอดจากการขีดขวางของบริเวณปลอดภัยเข้าไปสะสมอยู่ในบริเวณรอยต่อ J2 เป็นการเพิ่มกระแสที่ไหลผ่านตัวต้านทานข้างเคียงให้สูงขึ้นทำให้ทรานซิสเตอร์ภายในไอจีบีทีเกิดการแลตซ์ขึ้นได้เมื่อเกิดการแลตซ์ขึ้นนั้นแรงดันตกคร่อมขาซอร์สและเดรนขณะนำกระแสจะมีค่าต่ำกว่าระดับปกติ นอกจากนี้การแลตซ์ยังสามารถเกิดขึ้นได้อีก

### 2.3.4 การป้องกันการแลตซ์

การหลีกเลี่ยงการแลตซ์ของไอจีบีทีที่สามารถทำได้ทั้งผู้ผลิตและผู้ใช้งานเอง โดยจะมีอยู่สองวิธีดังนี้ วิธีแรกอาจทำได้โดยลดความกว้างของบริเวณซอร์ส  $n^+$  ลง นั่นคือลดค่า  $L_s$  ลงนั่นเอง วิธีที่สองเป็นการแบ่งระดับความหนาแน่นในการโด๊ปสารของบริเวณบอดี p ดังในภาพที่ 2.7



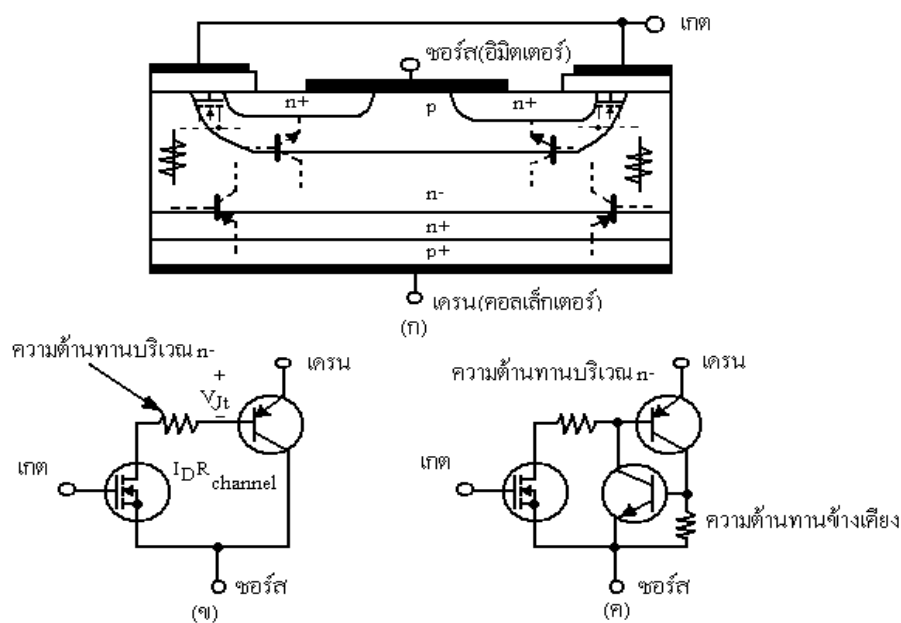
ภาพที่ 2.7 โครงสร้างที่ปรับปรุงเพื่อป้องกันการแลตซ์ในไอจีบีที

จะเห็นว่าบริเวณบอดี p ภายใต้เกตจะโด๊ปด้วยความหนาแน่นในระดับปกติ  $10^{16} \text{ cm}^{-3}$  และมีความหนาแน่นน้อยกว่าของบริเวณซอร์ส  $n^+$  แต่ส่วนอื่นที่เหลือของบริเวณบอดี p จะโด๊ปด้วยส่วนความหนาแน่นที่มีมากกว่าคือ  $10^{19} \text{ cm}^{-3}$  รวมถึงความหนาแน่นก็จะมากกว่าด้วยการทำเช่นนี้จะทำให้เพิ่มความสามารถในการนำกระแสให้สูงขึ้นเป็นการช่วยลดความต้านทานข้างเคียงให้น้อยลงด้วย

สำหรับผู้ใช้งานก็สามารถป้องกันการแลตซ์ในโหมตสแตติกได้ โดยออกแบบไม่ให้กระแสที่ไหลในโหมตไหลเกินค่ากระแส IDM และป้องกันการแลตซ์ในโหมตไดนามิกได้โดยหน่วงเวลาขณะหยุดนำกระแสให้ยาวขึ้น เพื่อให้โฮลที่ยังค้างอยู่ในบริเวณ n- มีเวลาพอที่จะรวมกับอิเล็กตรอนเป็นการลดกระแสที่ไหลผ่าน ค่าความต้านทานข้างเคียงให้น้อยลงเพื่อให้ได้การหน่วง

เวลาขณะหยุดนำกระแสให้ยาวนานขึ้นทำได้โดยการเพิ่มความต้านทานภายนอกอนุกรมเข้ากับขาเกตของไอจีบีที

### 2.3.5 วงจรสมมูลของไอจีบีที



ภาพที่ 2.8 วงจรสมมูลของไอจีบีที

- แสดงโครงสร้างที่มีทรานซิสเตอร์และมอสเฟสฝังอยู่ภายใน
- วงจรสมมูลสำหรับการทำงานสภาพปกติของไอจีบีที
- วงจรสมมูลที่แสดงส่วนของทรานซิสเตอร์ที่ฝังอยู่ในไอจีบีที

วงจรสมมูลของไอจีบีทีแสดงไว้ในภาพที่ 2.8 ก. โดยในภาพนั้นจะเห็นว่าในบริเวณบอดี p ชั้นบริเวณ n- และชั้นอิงเจกต์ p+ จะคล้ายกับทรานซิสเตอร์ชนิดเอ็นพีเอ็น โดยแทนได้ด้วยขาคอลเล็กเตอร์ เบสและอิมิตเตอร์ตามลำดับและบริเวณภายใต้เกตก็จะแทนได้ด้วยมอสเฟสซึ่งจะมีความต้านทานบริเวณ n- เชื่อมขาเบสของทรานซิสเตอร์พีเอ็นพีเข้ากับขาคอนของมอสเฟสซึ่งเมื่อเขียนวงจรสมมูลออกมาจะได้วงจรดังภาพที่ 2.8 ข.

จากภาพที่ 2.8 ข. จะเห็นว่าเป็นวงจรคาร์ลิงตัน โดยมีมอสเฟสเป็นตัวขับทรานซิสเตอร์พีเอ็นพี แต่มีจุดพิเศษที่แตกต่างจากวงจรทั่วไปคือกระแสครนส่วนใหญ่จะไหลจากอิมิตเตอร์มายังเบสผ่านความต้านทานบริเวณรอยเลื่อนและผ่านขาคอนของมอสเฟสมาจบลงที่ขาซอร์สจะมีกระแสส่วนน้อยเท่านั้นที่ไหลจากอิมิตเตอร์มายังคอลเล็กเตอร์และขาซอร์สสำหรับวงจรในภาพที่ 2.8 ค. จะแสดงให้เห็นว่าภายในไอจีบีทีจะมีทรานซิสเตอร์ฝังอยู่ด้วยโดยดูได้จากทรานซิสเตอร์ชนิดเอ็นพี

เอ็นและพีเอ็นพีต่อเข้าด้วยกันในลักษณะที่มีการป้อนกลับ จะเห็นได้ชัดเจนถึงเหตุที่ทำให้เกิดการแลตช์ของ ไอจีบีทีถ้ากระแสส่วนน้อยที่ไหลผ่านจากอิมิตเตอร์มายังคอลเล็กเตอร์ของทรานซิสเตอร์พีเอ็นพีแล้วผ่านความต้านทานข้างเคียงของรอยต่อแล้วนั้นก็จะทำให้เกิดแรงดันตกคร่อมความต้านทานสูงกว่า 0.7 โวลต์ทรานซิสเตอร์เอ็นพีเอ็นจะนำกระแส ส่งผลให้เกิดการแลตช์ขึ้นใน ไอจีบีทีสำหรับแรงดันตกคร่อมขาเดรนและซอร์สของ ไอจีบีทีขณะนำกระแส  $V_{ds(on)}$  สามารถเขียนสมการได้ดังนี้

$$V_{ds(on)} = V_{j1} + V_{drift} + IDR_{channel} \quad (2.16)$$

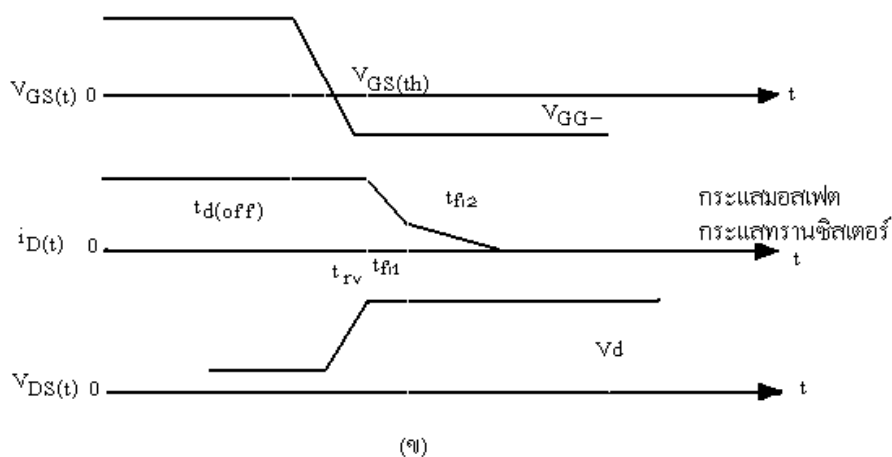
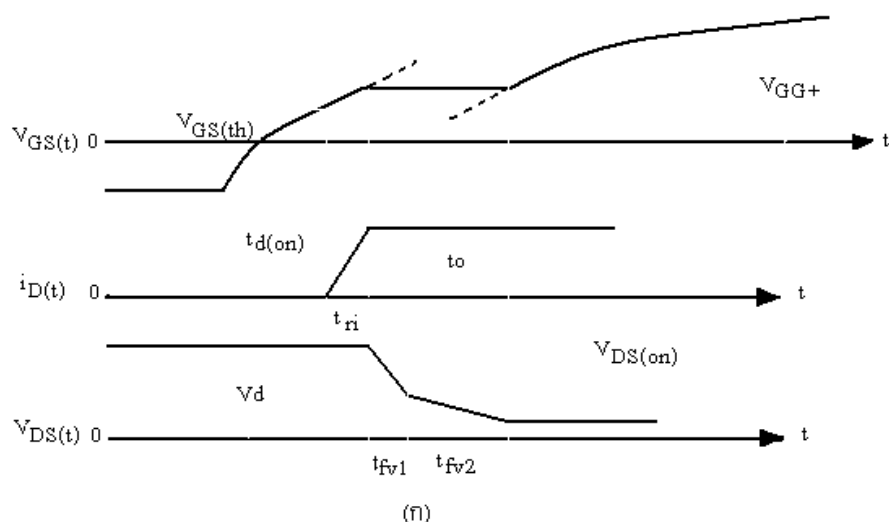
เมื่อ  $V_{j1}$  เป็นแรงดันไบอัสตรงที่ตกคร่อมรอยต่อพีเอ็น จึงมีค่าค่อนข้างคงที่และจะมีการเปลี่ยนแปลงบ้างก็เล็กน้อยเพราะมีความสัมพันธ์โดยตรงในลักษณะเอ็กซ์โปเนนเชียลกับกระแส ทำให้มีค่าอยู่ระหว่าง 0.7-1 โวลต์

$V_{drift}$  เป็นแรงดันที่ตกคร่อมความต้านทานบริเวณรอยเลื่อนซึ่งความต้านทานนี้มีค่าค่อนข้างคงที่เมื่อเปรียบเทียบกับค่าแรงดันในมอสเฟสแล้วจะมีค่าน้อยกว่าเพราะผลของการมอดูเลตสภาพนาที่ที่เกิดขึ้นใน ไอจีบีที  $R_{channel}$  เป็นค่าความต้านทานในย่าน 1- 1,000 โอห์ม มีค่าค่อนข้างคงที่  $IDR_{channel}$  เป็นแรงดันตกคร่อมมอสเฟส

ดังนั้นจึงสรุปได้ว่า  $V_{ds(on)}$  จะมีค่าสูงมากขึ้นตามค่ากระแสเดรนที่สูงขึ้น โดยทั่วไป ไอจีบีทีจะสามารถทำงานได้ในอุณหภูมิรอยต่อสูงสุดถึง 150 องศาเซลเซียสและผลของการเปลี่ยนแปลงอุณหภูมิจากค่าอุณหภูมิห้องไปถึงค่าสูงสุดนี้ก็จะส่งผลให้เกิดการเปลี่ยนแปลงของค่า  $V_{ds(on)}$  เพียงเล็กน้อยเท่านั้น เพราะ ไอจีบีทีที่มีค่า  $V_{ds(on)}$  เป็นผลรวมระหว่างแรงดันตกคร่อมมอสเฟสที่มีสัมประสิทธิ์ทางอุณหภูมิเป็นบวกอุณหภูมิสูงขึ้นแรงดันตกคร่อมความต้านทานบริเวณรอยเลื่อนจะสูงขึ้นตามกับแรงดันตกคร่อมความต้านทานบริเวณรอยเลื่อนที่มีสัมประสิทธิ์ของอุณหภูมิ

### 2.3.6 ลักษณะการสวิตช์

ลักษณะของสัญญาณกระแสและแรงดันในช่วงเวลาที่เกิดการนำกระแสและหยุดนำกระแสแสดงไว้ในภาพที่ 2.9



ภาพที่ 2.9 ลักษณะของสัญญาณกระแสและแรงดัน

ก. ลักษณะของกระแสและแรงดันขณะนำกระแส

ข. ลักษณะของกระแสและแรงดันขณะหยุดนำกระแส

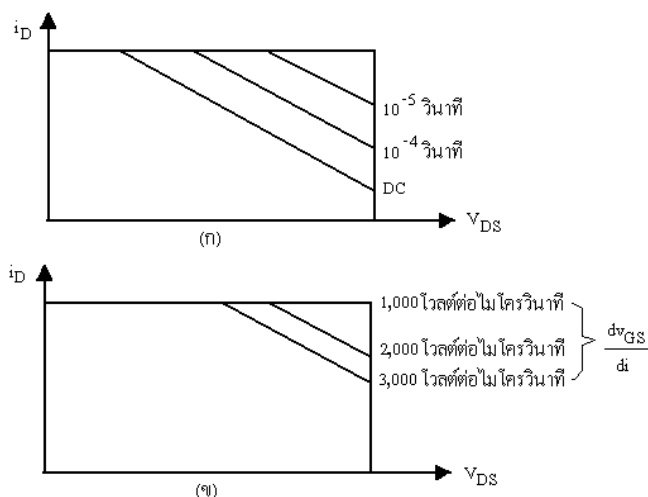
โดยช่วงเวลาในการนำกระแสของไอจีบีทีจะแสดงไว้ในภาพที่ 2.9 ก. ซึ่งมีลักษณะของการนำกระแสจะคล้ายกับการนำกระแสของมอสเฟตคือจะมีเวลาก่อนการนำกระแส ( $t_d(\text{on})$ ) จะนับตั้งแต่วันที่แรงดันระหว่างเกตกับซอร์สอยู่ในช่วง  $V_{GG-}$  จนถึง  $V_{GS}(\text{th})$  ความจริงแล้วการป้อนแรงดันนี้จะมีลักษณะการเปลี่ยนแปลงทันทีทันใดจากค่า  $V_{GG-}$  เป็น  $V_{GG+}$  แต่มีลักษณะเป็น



เอ็กซ์โปเนนเชียล เหตุที่เป็นเช่นนั้นก็เนื่องมาจากผลการชาร์จประจุของตัวเก็บประจุระหว่างขาเกตและขาซอร์สและเกทกับเดรนภายในไอจีบีทีแรงดันที่ขาเดรนจะยังคงที่ในช่วงเวลาขาขึ้น ( $t_{ri}$ ) หรือในช่วงเวลาที่กระแสเดรนยังไม่ถึงค่ากระแสทำงานนี้ ( $I_o$ ) หลังจากกระแสเดรนก็จะคงที่แต่แรงดันจะตกลงสู่ค่า  $V_{SD}(on)$  โดยจะแบ่งช่วงเวลาลงเป็นสองช่วง คือช่วง  $t_{fv1}$  เป็นช่วงที่ทำงานอยู่ในย่านความต้านทานสูงๆ ส่วน  $t_{fv2}$  ช่วงที่ทำงานอยู่ในช่วงความต้านทานต่ำ ในภาพที่ 2.9 ข. จะเป็นภาพแสดงลักษณะกระแสและแรงดันในช่วงเวลาที่ไอจีบีทีหยุดนำกระแสจะเห็นได้ว่ากระแสเดรนยังคงที่อยู่ตลอดช่วงเวลาที่แรงดันที่ขาเดรนเพิ่มขึ้นและมีช่วงเวลาลงของกระแสที่ขาเดรนที่แตกต่างชัดเจนสองช่วง โดยช่วงแรก  $t_{fv1}$  จะเป็นช่วงหยุดนำกระแสของมอสเฟสภายในไอจีบีทีแต่และช่วง  $t_{fv2}$  จะเป็นช่วงหยุดนำกระแสของทรานซิสเตอร์พีเอ็นพี ซึ่งจะช้ากว่ามอสเฟสทำให้ช่วงเวลานี้นานกว่าช่วงแรกและมีการสูญเสียกำลังงานมากในช่วงนี้

### 2.3.7 พื้นที่การทำงานที่ปลอดภัย

ในขณะที่ไบอัสตรงที่กว้างมาก เกือบได้เป็นสิ่งเหลื่อมสำหรับเวลาในการสวิตช์ที่สั้นๆ นั้นแต่จะแคบลงเมื่อเวลาในการสวิตช์ยาวนานขึ้น ซึ่งถ้าเทียบกับเพาเวอร์มอสเฟสแล้ว ไอจีบีทีจะทำงานได้ในช่วงพื้นที่ที่กว้างกว่าเมื่อเวลาในการสวิตช์เท่ากัน ไอจีบีทีมีพื้นที่การทำงานที่ปลอดภัยทั้งในระหว่างนำกระแสและหยุดนำกระแส โดยมีพื้นที่การทำงานที่ปลอดภัย



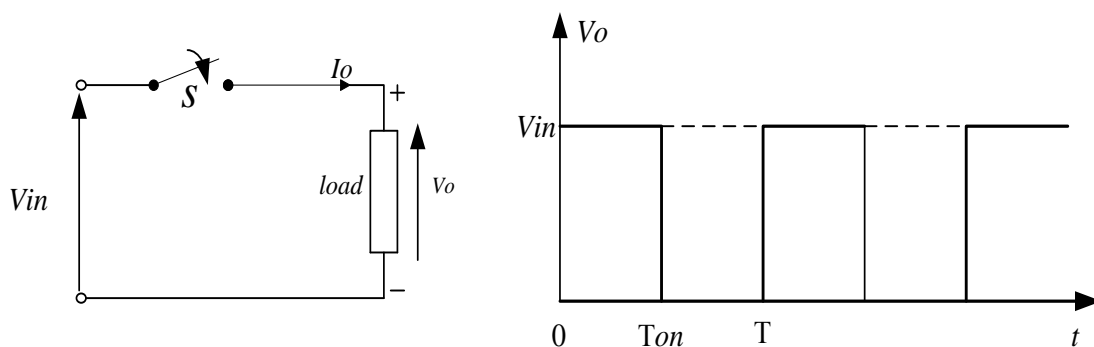
ภาพที่ 2.10 พื้นที่การทำงานของไอจีบีที

ก. พื้นที่การทำงานที่ปลอดภัยในสภาวะไบอัสตรง

ข. พื้นที่การทำงานที่ปลอดภัยในสภาวะไบอัสกลับ

ในช่วงระยะเริ่มนำกระแสและขณะที่นำกระแสแล้วจุดการทำงานของ ไอจีบีทีก็จะต้องมีขนาดแรงดันและกระแสที่ขาเดรนอยู่ภายในพื้นที่การทำงานที่ปลอดภัยในช่วงไบอัสตรงเสมอ ดังภาพที่ 2.10 ก. หากไม่เช่นนั้นแล้วจะทำให้เกิดการเสียหายเกิดขึ้นกับไอจีบีทีจากรูปพื้นที่การทำงานที่ปลอดภัยของ ไอจีบีทีนี้แสดงถึงขีดจำกัดของกระแสเดรน , อัตราทนแรงดัน ไหลตรงและอุณหภูมิรอยต่อของ ไอจีบีทีตามลำดับสำหรับการทำงานที่ปลอดภัยในช่วงของการไบอัสกลับ จะแตกต่างจากในช่วงไบอัสตรงโดยในรูปนี้จะแสดงค่าจำกัดของค่าอัตราการเปลี่ยนแปลงแรงดันที่ขาเดรนต่อเวลา ( $dvDS/dt$ ) ซึ่งจะเกิดขึ้นในช่วงระหว่างหยุดนำกระแสแทนขีดจำกัดทางด้านอุณหภูมิที่รอยต่อ และ จะมีพื้นที่แคบลงถ้า ( $dvDS/dt$ ) มีค่าสูงมากขึ้นส่วนเหตุผลที่ถูกจำกัดโดยค่านี้เพราะไม่ต้องการให้เกิดการแลตซ์ขึ้นที่ ไอจีบีทีค่า ( $dvDS/dt$ ) นี้จะมีผลโดยตรงกับช่วงเวลาหยุดนำกระแสของ ไอจีบีทีหมายความว่าถ้ามีอัตราการเปลี่ยนแปลงเร็วจะทำให้ช่วงเวลาหยุดนำกระแสสั้นแต่ก็ยังถือว่าโชคดีที่ขีดจำกัด  $dvDS/dt$  ของ ไอจีบีทีมีค่าสูงมากเมื่อเทียบกับอุปกรณ์ไทรสเตอร์ตัวอื่นๆดังนั้นความจำเป็นในการใช้วงจร snubber เพื่อป้องกันการแลตซ์ก็ไม่มีควมจำเป็นต้องใช้และการควบคุมค่า  $dvDS/dt$  ที่เกิดขึ้นยังทำได้ง่ายขึ้นด้วยการออกแบบวงจรจับเบรกที่มีค่าความต้านทานที่ต่อกับขาเกตและค่า VGG-ที่เหมาะสม

### 2.3.8 DC-DC CONVERTER [2]



ภาพที่ 2.11 หลักการของ DC-DC Chopper

ดิซีชอปเปอร์เป็นวงจรที่ทำหน้าที่เปลี่ยนแปลงแรงดันไฟฟ้าดิซีจากแหล่งจ่ายไฟฟ้าที่มีค่าคงที่ให้ได้แรงดันเอาต์พุตดิซีที่สามารถปรับค่าได้ตามต้องการ โดยใช้หลักการ ON และ OFF อิเล็กทรอนิกส์สวิตช์ หรือ ดิซีชอปเปอร์โดยทั่วไปจะนำไปใช้ในงานต่อไปนี้รถยนต์ที่ขับเคลื่อนด้วยพลังงานไฟฟ้าจากแบตเตอรี่กระแสตรงและภายในโครงการนี้ได้นำมาใช้ในการขับเคลื่อนรถจักรยานยนต์ไฟฟ้าด้วยพลังงานไฟฟ้าจากแบตเตอรี่กระแสตรงเช่นเดียวกัน Regulator ประสิทธิภาพสูง เป็นต้น การ ON และ OFF อิเล็กทรอนิกส์ สวิตช์มีวิธีการ 2 แบบคือ

1. แบบ Constant – Frequency เป็นวงจรชอปเปอร์ที่ควบคุมให้ Time Period (T) คงที่ แล้วปรับเวลา ON Time ( $T_{on}$ ) การควบคุมในลักษณะนี้เรียกว่า Pulse - Width – Modulation (PWM)

2. แบบ Variable – Frequency เป็นวงจรชอปเปอร์ที่ปรับ Time Period โดยการปรับ ON Time หรือ OFF Time ( $T - T_{on}$ ) การควบคุมแบบนี้เรียกว่า Frequency – Modulation แต่เนื่องจากการควบคุมในลักษณะนี้ความถี่มีการเปลี่ยนแปลงในย่านกว้างทำให้ยากในการ Filter

### 2.3.9 อิเล็กทรอนิกส์สวิตช์ที่ใช้ในวงจรมีอยู่ 2 แบบคือ

1. แบบที่ทำให้กระแสหยุดไหลด้วยการบีบบังคับ (Forced Commutation) คือ เอสซีอาร์จะนำมาใช้งานในความถี่ต่ำ
2. แบบที่ทำให้กระแสไหลได้ด้วยตัวเอง (Self Commutation) คือ เพาเวอร์ทรานซิสเตอร์ มอสเฟส จีทีโอ และ ไอจีบีที จะนำมาใช้งานในความถี่สูง

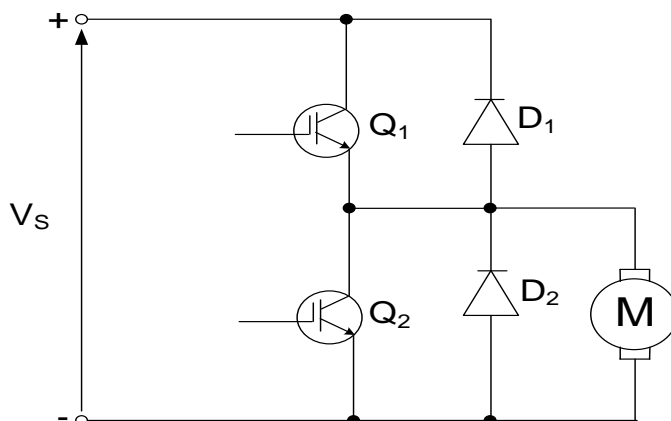
## 2.4 การขับเคลื่อนมอเตอร์ไฟฟ้ากระแสตรงด้วยชอปเปอร์ใน 2 ควอดแดนต์ [3]

มอเตอร์แบบ Regenerative ทิศทางของแรงดันเป็นบวก แต่ทิศทางของกระแสจะกลับเป็นทิศทางจากเดิมทิศทางกระแสเป็นลบ ในสภาวะนี้ มอเตอร์จะเปลี่ยนสถานะเป็นเครื่องกำเนิดไฟฟ้า กำลังงานของมอเตอร์จะไหลย้อนกลับไปที่แหล่งจ่ายไฟฟ้าและถูกสังเคราะห์กระแสตรงโดยใช้ ไอจีบีที ที่แรงบิดมีทิศทางสวนทางกลับทางเดิมทำให้ความเร็วรอบของมอเตอร์จะลดลงอย่างรวดเร็ว

### 2.4.1 วงจรชอปเปอร์แบบ 2 ควอดแดนต์

การควบคุมวงจรชอปเปอร์จะทำงานในควอดแดนต์ที่ 1 เมื่อแรงดันอาร์เมเจอร์และกระแสอาร์เมเจอร์เป็นบวกในการเบรกนั้น วงจรชอปเปอร์จะทำงานในควอดแดนต์ที่ 2 แสดงในภาพที่ 2.13 กำลังเป็นที่นิยมใช้กันมากในการเบรกมอเตอร์ วงจร ไอจีบีที แบบ 2 ควอดแดนต์จะแสดงในภาพที่ 2.14

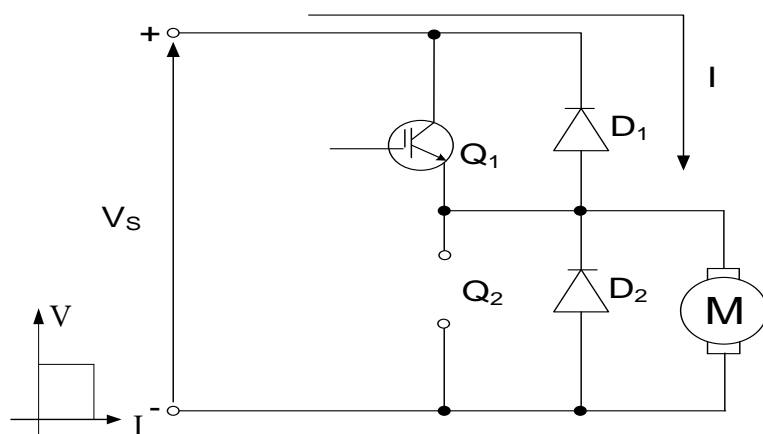
การควบคุมกำลัง ไอจีบีที  $Q_1$  และ ไดโอด  $D_2$  จะทำงานเมื่อ  $Q_1$  ทำงาน แรงดันแหล่งจ่าย  $V_s$  จะไหลไปที่มอเตอร์ เมื่อ  $Q_1$  ไม่ทำงานกระแสในอาร์เมเจอร์จะไหลวนเวียนผ่านไดโอด  $D_2$



ภาพที่ 2.12 วงจรขับเคลื่อนมอเตอร์แบบ 2 ควอดแดนต์

ภาพแสดงวงจรการขับเคลื่อนมอเตอร์แบบ 2 ควอดแดนต์และการควบคุมกำลังไอจีบีที  $Q_1$  และ ไดโอด  $D_2$  จะทำงานเมื่อ  $Q_1$  ทำงาน แรงดันแหล่งจ่าย  $V_s$  จะไหลไปที่มอเตอร์ เมื่อ  $Q_1$  ไม่ทำงานกระแสในอาร์เมเจอร์จะไหลวนเวียนผ่าน ไดโอด  $D_2$

#### 2.4.2 การควบคุมการเดินหน้าของมอเตอร์



ภาพที่ 2.13 ภาพแสดงการเดินหน้าของมอเตอร์

การควบคุมการเดินหน้าของมอเตอร์ ไอจีบีที  $Q_1$  จะทำงาน  $Q_2$  จะหยุดทำงาน เมื่อ  $D_1$  ทำงานแรงดันจากแหล่งจ่ายจะปรากฏที่จุดต่อของมอเตอร์และกระแสอาร์เมเจอร์จะเพิ่มขึ้นเมื่อ  $Q_1$  หยุดทำงาน  $Q_2$  จะทำงาน คือการทำงานในควอดแดนต์ที่ 2 คือการเบรก

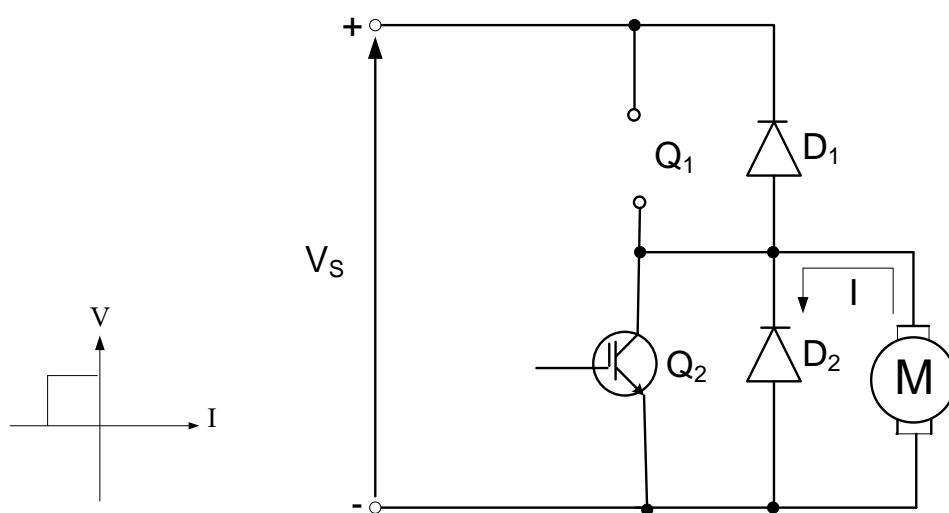
สมการแรงเคลื่อนไฟฟ้าเฉลี่ยของการเดินหน้า

$$V_a = kV_s \quad (2.17)$$

โดยที่

$$k = \text{DutyCycle}$$

$$V_s = \text{แรงดันที่แหล่งจ่าย}$$



ภาพที่ 2.14 ภาพแสดงการเบรกของมอเตอร์

การเบรกแบบ Regenerative ไอจีบีที  $Q_2$  และไดโอด  $D_1$  จะทำงานเมื่อ  $Q_2$  ทำงานมอเตอร์จะเปรียบเสมือนเครื่องกำเนิดและกระแสอาร์เมเจอร์จะเพิ่มขึ้นคืนพลังงานให้กับแหล่งจ่าย โดยกระแสจะไหลผ่านไดโอด  $D_1$  ในอุตสาหกรรมทั่วไปจะนิยมใช้ 4 ควอดแดนต์ดังแสดงในภาพที่ 2.14 สมการแรงเคลื่อนไฟฟ้าเฉลี่ยของการเบรกมอเตอร์

$$V_{CH} = (1-k)V_s \quad (2.18)$$

$$P = I_a V_{CH} = I_a V_{CH} (1-k) \quad (2.19)$$

$$E_g = K_v I_a \omega \quad (2.20)$$

$$= V_{CH} + R_a I_a = (1-k)V_s - R_a I_a \quad (2.21)$$

## บทที่ 3

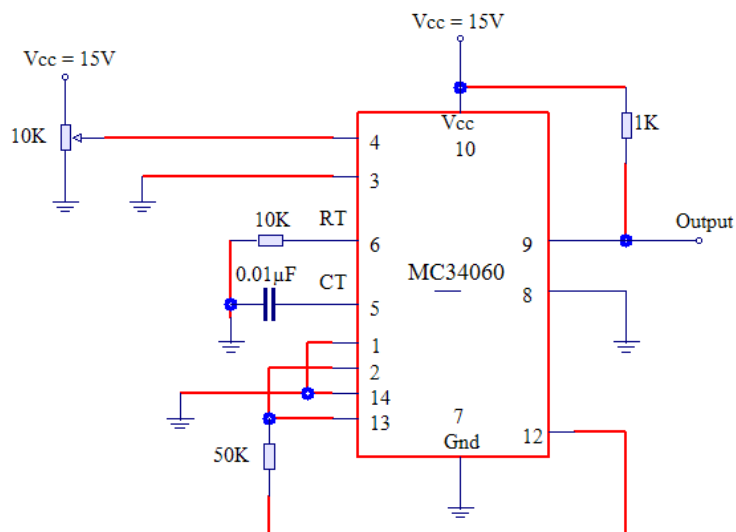
### การออกแบบโครงงาน

#### 3.1 การออกแบบโครงงาน

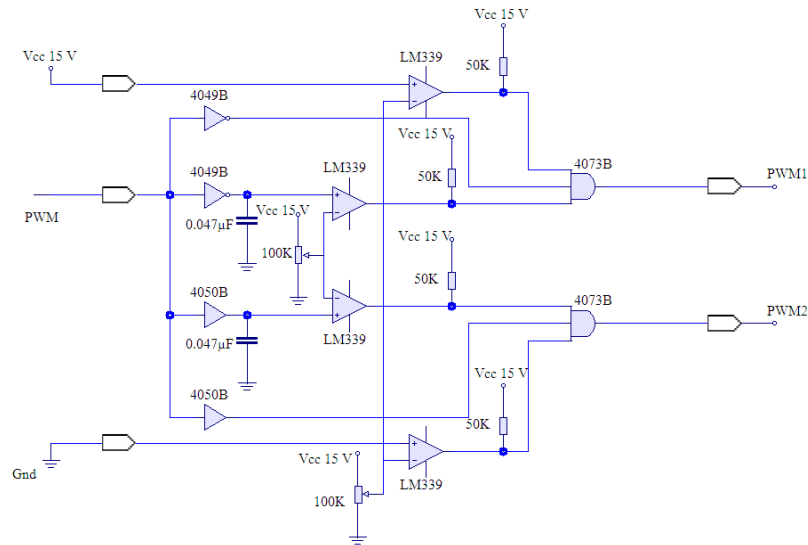
การออกแบบโครงงานการขับเคลื่อนมอเตอร์ไฟฟ้ากระแสตรงแบบ 2 ควอดแดนซ์แบ่งออกเป็น 3 ส่วนดังนี้

- วงจรกำเนิดสัญญาณพี.ดับเบิลยู.เอ็ม. (P.W.M.)
- วงจรการเลื่อนเฟส (Phase shift)
- วงจรขับเกตไอจีบีที (Gate driver circuit)

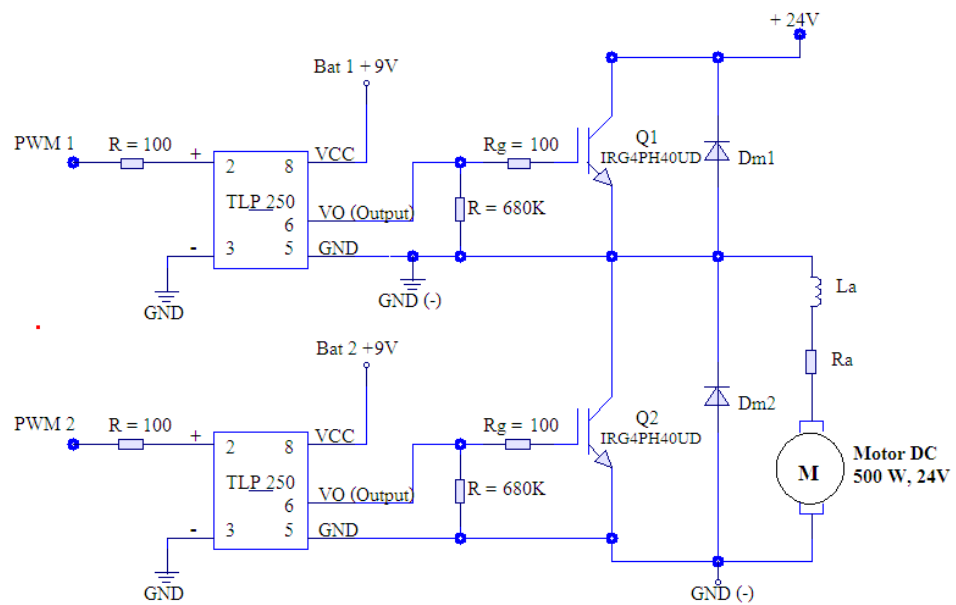
#### 3.2 วงจรขับเคลื่อนมอเตอร์ไฟฟ้ากระแสตรงแบบ 2 ควอดแดนซ์



ภาพที่ 3.1 แสดงวงจรกำเนิดสัญญาณพี.ดับเบิลยู.เอ็ม. (P.W.M.)



ภาพที่ 3.2 แสดงวงจรเลื่อนเฟส (Phase Shift)



ภาพที่ 3.3 แสดงวงจรขับเคลื่อนไอจีบีที (Gate Driver Circuit) โดยใช้ไอซี TLP250

หลักการการทำงานของวงจรขับเคลื่อนมอเตอร์แบบ 2 ควอดแดนซ์จะประกอบไปด้วยวงจรหลักสามวงจรคือ วงจรกำเนิดสัญญาณ พี.ดับเบิลยู.เอ็ม.คือ สัญญาณสี่เหลี่ยมที่สามารถปรับความกว้างของสัญญาณเพื่อใช้ในการควบคุมความเร็วของมอเตอร์ วงจรเลื่อนเฟสมีหน้าที่ในการปรับขอบขาขึ้นของสัญญาณพัลส์ให้มีการหน่วงเวลาในการเกิดของแต่ละควอดแดนซ์เพื่อป้องกันการชนกันของสัญญาณพัลส์ในแต่ละควอดแดนซ์ อาจทำให้เกิดความเสียหายกับไอจีบีที วงจรไดร์มอเตอร์จะประกอบด้วยอุปกรณ์สำคัญคือไอซีเบอร์ TLP250 ทำหน้าที่ในการขยายสัญญาณ พี.ดับเบิลยู.เอ็ม.(P.W.M.) เพื่อใช้ในการควบคุมการทำงานของไอจีบีที (IGBT) (Insulated - Gate Bipolar Transistor) ในที่นี้ใช้เบอร์ IRG4PH40UD 1200V จะเห็นว่าเพิ่ม Fast Diode เป็นอุปกรณ์ในการคืนพลังงานกลับ Revcovery ในแต่ละตัวของ State ของตัวไอจีบีที

### 3.3 การออกแบบวงจรการขับเคลื่อนมอเตอร์ไฟฟ้ากระแสตรง [4]

จากหลักการพื้นฐานของวงจร ซอปเปอร์ดังที่กล่าวมาแล้วนั้น จะนำมาสร้างชุดขับเคลื่อนมอเตอร์โดยในที่นี้เราจะเลือกการขับเคลื่อนแบบ 2 ควอดแดนซ์ที่แสดงในหัวข้อที่ผ่านมา โดยมีจุดประสงค์ให้มอเตอร์เคลื่อนที่ในทิศทางเดียวการควบคุมแรงดันเฉลี่ยในวงจรอาร์เมเจอร์จะใช้วิธีพี.ดับเบิลยู.เอ็ม. (P.W.M.) พิกัดของขนาดมอเตอร์ที่ต้องการขับเคลื่อนที่มี ขนาดไม่เกิน 500 วัตต์ แรงดัน 24 โวลต์โดยโครงสร้างชุดขับเคลื่อนมอเตอร์แบบ 2 ควอดแดนซ์ จะมีรายละเอียดดังนี้

### 3.4 การสร้างวงจรกำเนิดสัญญาณพี.ดับเบิลยู.เอ็ม. (P.W.M.) [5] [6]

วงจรกำเนิดสัญญาณ พี.ดับเบิลยู.เอ็ม. (P.W.M.) นี้จะเลือกใช้ไอซีเบอร์ MC34060A นี้ซึ่งมีวงจรกำเนิดสัญญาณพื้นฐานและวงจรเปรียบเทียบอยู่ภายใน การกำหนดค่าพารามิเตอร์ในการกำเนิดความถี่กำหนดได้ดังนี้

$$f_{osc} \quad \text{เท่ากับ} \quad \text{ความถี่ของสัญญาณพัลส์}$$

$$R_T, C_T \quad \text{เท่ากับ} \quad \text{ค่าพารามิเตอร์ของวงจรกำเนิดสัญญาณพัลส์}$$

$$R_T = \frac{1.2}{f_{osc} C_T} \quad (3.1)$$



### 3.4.1 การคำนวณหาค่า $C_T$ และ $R_T$

วงจรกำเนิดสัญญาณสัญญาณ พี.ดับเบิลยู.เอ็ม. (P.W.M.) นี้ ได้เลือกใช้ความถี่ที่ 10 กิโลเฮิรต์ เหตุผลในการเลือกความถี่ในย่านนี้ เพื่อต้องการให้กระแสของมอเตอร์มีริบเบิลน้อยลง เราสามารถเลือกย่านความถี่ให้มีค่ามากกว่านี้ แต่ผลที่ตามมาจะมีสัญญาณรบกวนมาก จากคู่มือของ MC 34060A จะหาค่าของ  $C_T$  และ ความต้านทาน  $R_T$  จากสมการ  $f_{osc} = \frac{1.2}{R_T C_T}$

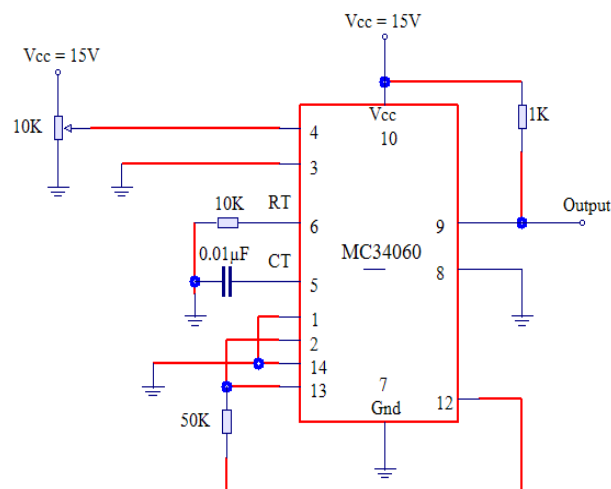
คำนวณหาค่า R จากสูตร

$$R_T = \frac{1.2}{f_{osc} C_T} \quad (3.2)$$

พิจารณา  $C_T = 0.01$  ไมโครฟารัด

พิจารณา  $f_{osc} = 10$  กิโลเฮิรต์

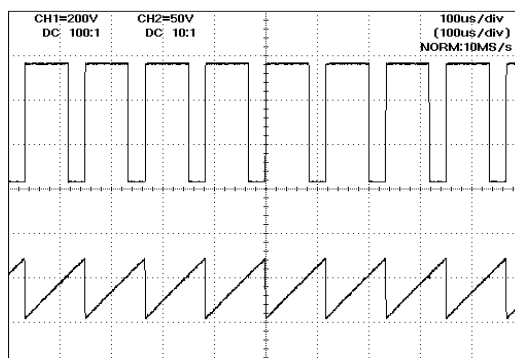
$$R_T = \frac{1.2}{10 \times 10^3 \times 0.01 \times 10^{-6}} = 12 \text{ กิโลโอห์ม}$$



ภาพที่ 3.4 แสดงวงจรการสร้างสัญญาณ พี.ดับเบิลยู.เอ็ม. (P.W.M.) โดยใช้ IC MC34060A

แสดงภาพวงจรการสร้างสัญญาณ พี.ดับเบิลยู.เอ็ม. (P.W.M.) โดยใช้ ไอซีเบอร์ MC34060A ค่าความกว้างของสัญญาณเอาต์พุต จะถูกควบคุมจากระดับแรงดันไฟฟ้ากระแสตรง ที่ป้อนเข้าทาง อินพุตที่ขา 4 ในช่วงระดับแรงดัน 0-15 โวลต์ ค่าความถี่ของสัญญาณเอาต์พุตจะถูกกำหนดที่ค่า  $C_T$  และ  $R_T$  ตามภาพที่ 3.4

### 3.4.2 สัญญาณ Pulse Width Modulation (P.W.M.) [5] [6]



ภาพที่ 3.5 แสดงรูปคลื่นสัญญาณเอาต์พุตของ Pulse Width Modulation (P.W.M.)

เป็นตัวกำเนิดสัญญาณความถี่และควบคุมความกว้างของสัญญาณ ตามค่าคำสั่งที่ผ่านให้ วงจร กำหนดให้คำสั่งเท่ากับค่า  $V_s$  ซึ่งเป็นระดับแรงดันไฟฟ้ากระแสตรงนั้น เมื่อเปรียบเทียบกับ สัญญาณรูปฟันเลื่อยที่ที่ถูกสร้างขึ้นภายในวงจร พี.ดับเบิลยู.เอ็ม. หน้าที่สำคัญของวงจรพี.ดับเบิลยู. เอ็ม.คือสร้างสัญญาณรูปฟันเลื่อยและเปรียบเทียบสัญญาณฟันเลื่อยกับระดับแรงดัน  $V_s$  จากภาพที่ 3.5 นี้แสดงให้เห็นถึงการเปรียบเทียบสัญญาณทั้งสองได้สัญญาณเอาต์พุตเป็นภาพพัลส์ที่สามารถ เปลี่ยนแปลงค่าความถี่ได้เกิดตามผลการเปรียบเทียบสัญญาณเอาต์พุตนี้ จะนำไปผ่านวงจรขับเคลื่อนของ ไอจีบีที เพื่อควบคุมการเปิด-ปิดต่อไป ส่วนสัญญาณ Dead Time Control ที่เห็นในรูปเป็นสัญญาณ อินพุตอีกขาหนึ่ง MC34060A มีไว้ใช้ในกรณีที่ต้องการควบคุม Dead Time โดยคุณสมบัติเดียวกับ ขา  $V_s$

### 3.4.3 การกำหนดย่านความถี่ของวงจร พี.ดับเบิลยู.เอ็ม. (P.W.M.)

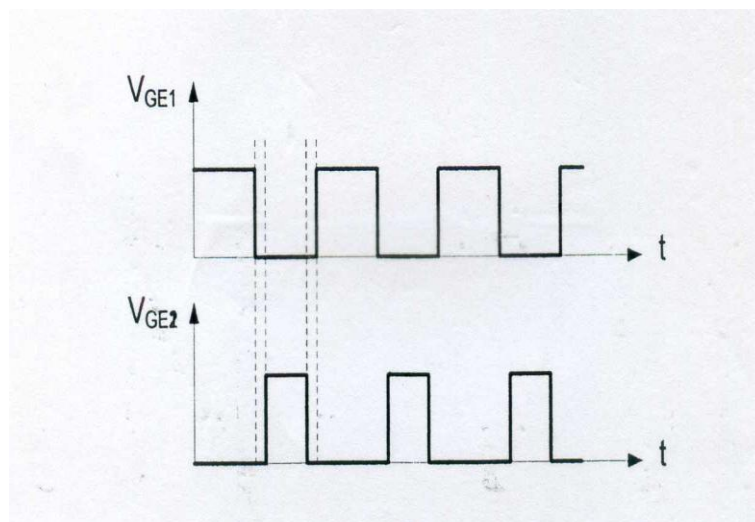
หลักเกณฑ์ในการกำหนดขนาดความถี่ให้วงจรชอปเปอร์ มีดังนี้

- คุณสมบัติของ ไอจีบีทีที่นำมาใช้ในการเปิด-ปิดวงจรในที่นี้เลือกใช้ ไอจีบีที ของบริษัท International Rectifier(IR) เบอร์ IRG4PH40UD อัตราทนแรงดันสูงสุดจะเท่ากับ 1200 โวลต์ การตอบสนองความถี่ 1-10 กิโลเฮิรต์ อัตราทนกระแสต่อเนื่องที่คอลเลกเตอร์ 41 แอมแปร์ที่อุณหภูมิ 25 องศาเซลเซียส

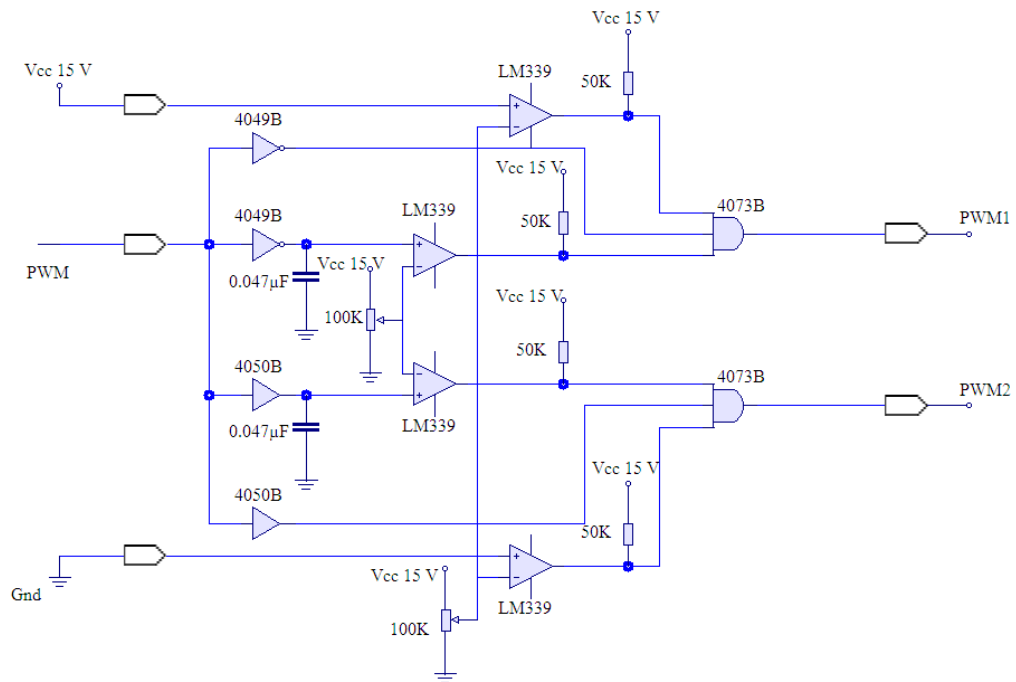
- ความต่อเนื่องของกระแสอาร์เมเจอร์ ในขณะที่มีการเปิด-ปิด ถ้าความถี่ของการเปิด-ปิด น้อยเกินไปจะเกิดความไม่ต่อเนื่องของกระแสทำให้มีผลกับค่าแรงบิดที่มอเตอร์สร้างขึ้น

### 3.5 วงจรเลื่อนเฟส (Phase Shift)

เนื่องจากการออกแบบการขับเคลื่อนมอเตอร์ในนี้เป็นแบบ 2 ควอดแคนซ์ โดยกำหนดให้ ไอจีบีทีทั้งสองตัวทำงานสลับกันเฟสของสัญญาณควบคุม ไอจีบีทีทั้งสองจะห่างกัน 180 องศาหรือทำงานสลับกันแต่ปัญหาในการเปิด-ปิด ไอจีบีทีแต่ละตัวจะมีโอกาสที่จะทำงานพร้อมกันได้ชั่วขณะ จะทำให้เกิดการลัดวงจรได้ ดังนั้นจึงได้ใช้วงจรเลื่อนเฟสของสัญญาณทั้งสองให้มีการหน่วงเวลา เพื่อป้องกันการลัดวงจรจากภาพที่ 3.6 แสดงให้เห็นถึงสัญญาณควบคุม ไอจีบีทีทั้งสองตัวหลังจากได้ผ่านวงจรเลื่อนเฟสจะเห็นได้ว่าจะมีช่องว่างเล็กน้อยก่อนที่ ไอจีบีทีแต่ละตัวจะทำงานตามภาพที่ 3.7 แสดงวงจรเลื่อนเฟสโดยประยุกต์จาก IC.OP-AMP และ IC.CMOS สร้างวงจรเลื่อนเฟส



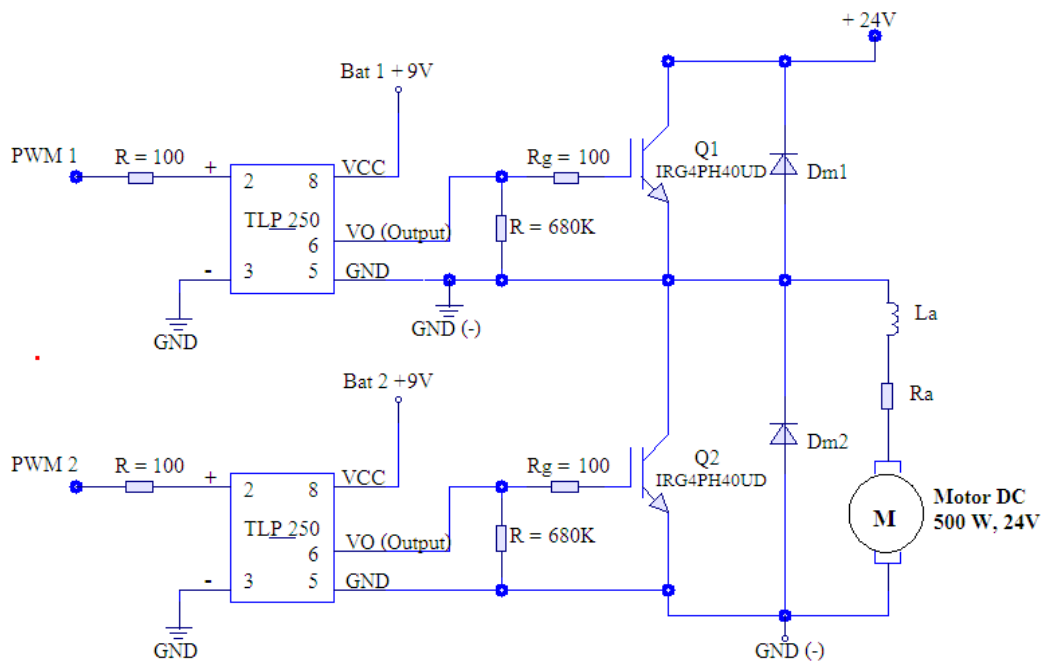
ภาพที่ 3.6 แสดงรูปสัญญาณที่ผ่านการเลื่อนเฟส



ภาพที่ 3.7 แสดงวงจรเลื่อนเฟส

### 3.6 วงจรขับเกตไอจีบีที (Gate Driver Circuit)

เป็นวงจรที่ทำหน้าที่ขยายสัญญาณ พี. ดับเบิลยู. เอ็ม. (P.W.M.) ในโครงการนี้จะเลือกใช้ ไอซีสำเร็จรูป TLP250 เพื่อใช้ในการควบคุมการทำงานของไอจีบีที (IGBT) (Insulated - Gate Bipolar Transistor) ในที่นี้ใช้เบอร์ IRG4PH40UD 1200V จะเห็นว่าเพิ่ม Fast Diode เป็นอุปกรณ์ ในการคืนพลังงานกลับ Revcovery ในแต่ละตัวของ State ของตัวไอจีบีที



ภาพที่ 3.8 แสดงวงจรขับเคลื่อนไอจีบีที แบบ 2 ควอดแดนต์ โดยใช้ไอซี TLP250

แสดงการใช้ไอซี TLP250 ขับขาคัดแบบ 2 ควอดแดนต์ โดยจะมีขาอินพุต 2 ขา คือ PWM1 และ PWM2 ซึ่งรับสัญญาณจากไอซี MC34060A สร้างสัญญาณพี.ดับเบิลยู.เอ็ม (P.W.M.) ที่ผ่านวงจรเลื่อนเฟสแล้ว ตามวงจรที่แสดงในภาพที่ 3.8 นี้เป็นวงจรที่ผลิตได้แนะนำในคู่มือการใช้ไอซี

### 3.7 การคำนวณค่าสัมประสิทธิ์ของรถจักรยานยนต์ไฟฟ้า

การที่รถจักรยานยนต์ไฟฟ้านั้นเคลื่อนที่ได้ขึ้นอยู่กับอัตราเร่งของมอเตอร์ ที่ส่งผ่านระบบส่งกำลังมาที่ล้อเพื่อใช้ในการขับเคลื่อน ขณะที่รถไฟฟ้าเคลื่อนที่นั้นจะมีแรงต้านการเคลื่อนที่โดยจะมีทิศทางที่สวนทางกับแรงขับเคลื่อนด้วยความเร็วคงที่เช่น 40 กิโลเมตร/ชั่วโมง เราสามารถที่จะหาค่าแรงขับเคลื่อนได้โดยอาศัยกฎข้อที่ 1 ของนิวตันจะได้ว่า

$$\text{แรงขับเคลื่อน} = \text{แรงต้านทั้งหมด} \quad (3.3)$$

โดยที่ถ้าแรงในการขับเคลื่อนมากกว่าแรงต้านทั้งหมดรถไฟฟ้าจะมีอัตราเร็วมากขึ้น อาจทำได้โดยการกดปุ่มบังคับการเร่งเพื่อเพิ่มกระแสไฟฟ้าให้กับมอเตอร์จะทำให้แรงขับเคลื่อนที่ล้อนมากขึ้น และถ้าแรงขับเคลื่อนน้อยกว่าแรงต้านทั้งหมดรถไฟฟ้าจะมีอัตราเร็วที่ลดลงในขณะที่

อัตราเร็วลดลงนั้น แรงต้านทั้งหมดจะลดลงด้วยจนในที่สุดจนแรงขับเคลื่อนจะเท่ากับแรงต้านทั้งหมดของรถจักรยานยนต์ไฟฟ้าจะวิ่งด้วยอัตราเร็วคงที่ต่อไป ซึ่งแรงต้านเหล่านั้น ได้แก่

แรงต้านการหมุนล้อ (Rolling Resistance)

แรงต้านอากาศ (Air Resistance)

แรงต้านทางชัน (Gradient Resistance)

นอกจากนั้นในขณะที่เร่งมอเตอร์ กำลังบางส่วนต้องสูญเสียไปเพื่อเอาชนะความเฉื่อยของรถไฟฟ้า เรียกว่า แรงต้านเฉื่อย (Inertia Resistance)

### 3.8 แรงต้านการหมุนของล้อ

กำลังจากมอเตอร์ที่ล้อขับเคลื่อน จะถูกใช้ไปเพื่อเอาชนะแรงต้านการหมุนของล้อ การหาแรงต้านการหมุนของล้ออาจทำได้โดยการออกแรงดันรถไฟฟ้าให้เคลื่อนที่ไปด้วยอัตราเร็วคงที่ค่าหนึ่งแรงที่ใช้ในการดันรถไฟฟ้าจะมีค่ามากหรือน้อยขึ้นอยู่กับสิ่งต่อไปนี้

ตารางที่ 3.1 แสดงความสัมพันธ์ระหว่างสภาพถนน และค่าสัมประสิทธิ์ ( $K_r$ )

สภาพถนน	ค่าสัมประสิทธิ์( $K_r$ )
สภาพดี	0.01-0.016
ถนนเป็นกรวด	0.015-0.020
ถนนไม้อัดกันเรียบ	0.020-0.030
ถนนเป็นหิน	0.016-0.07
ถนนเป็นทราย	0.15-0.3

### 3.9 แรงต้านทางอากาศ

กำลังจากมอเตอร์ที่ใช้ในการขับเคลื่อนที่ล้อส่วนมากต้องใช้ไปเพื่อเอาชนะแรงต้านอากาศ โดยเฉพาะอย่างยิ่งที่อัตราเร็วสูงๆ แรงต้านอากาศจะเกิดขึ้นเมื่อรถจักรยานยนต์ไฟฟ้ามีการเคลื่อนที่ และจะมากหรือน้อยขึ้นอยู่กับรูปทรง อัตราพื้นที่หน้าตัดของรถจักรยานยนต์ไฟฟ้า

สูตรที่ใช้ในการคำนวณเพื่อหาแรงต้านอากาศ

$$R_a = K_a \cdot A \cdot V^2 \quad (3.4)$$

เมื่อ  $R_a$  = แรงต้านอากาศ,

$K_a$  = สัมประสิทธิ์แรงต้านอากาศ (0.031)

$$A = \text{ที่หน้าตัดของรถไฟฟ้า, m}^2$$

$$V = \text{อัตราเร็วรถไฟฟ้า, km/h}$$

เนื่องจากพื้นที่หน้าตัดของรถจักรยานยนต์ไฟฟ้านั้นไม่เป็นสี่เหลี่ยม คือ มีส่วนเว้าโค้งตามความสวยงามของรถการออกแบบจึงทำให้ไม่สามารถหาพื้นที่หน้าตัดของรถจักรยานยนต์ไฟฟ้าได้อย่างถูกต้องดังนั้นจึงทำได้โดยวิธีประมาณ

$$A = 0.78Ba.Ha \quad (3.5)$$

$$\text{เมื่อ } A = \text{พื้นที่หน้าตัดรถไฟฟ้า, m}^2$$

$$Ba = \text{ความกว้างของรถไฟฟ้า, m}$$

$$Ha = \text{ความสูงของรถไฟฟ้า, m}$$

### 3.10 แรงต้านทานทางชัน

ในขณะที่รถจักรยานยนต์ไฟฟ้าวิ่งขึ้นทางชัน กำลังของมอเตอร์บางส่วนต้องถูกใช้ไปเพื่อเอาชนะแรงต้านทางชัน ทำให้มอเตอร์ต้องทำงานหนักมากขึ้นกว่าวิ่งบนทางระดับ แต่ในทางกลับกันกับรถไฟฟ้าวิ่งในทางลาดมอเตอร์ จะทำงานเบาขึ้นเพราะมีแรงเสริม เนื่องจากน้ำหนักรถไฟฟ้าทำให้รถไฟฟ้าเคลื่อนที่ได้เอง

แรงต้านทางชันเกิดมากขึ้นอยู่กับ

- 1 น้ำหนักของรถไฟฟ้า
- 2 ความชันของถนน

สามารถหาแรงต้านทางชันสูตร

$$R_g = W \sin \theta \quad (3.6)$$

$$\text{เมื่อ } R_g = \text{แรงต้านทางชัน, N}$$

$$W = \text{น้ำหนักของรถไฟฟ้า, N}$$

$$\sin \theta = \text{ความชัน}$$

### 3.11 แรงต้านรวม

ในหัวข้อนี้จะกล่าวถึงแรงต้านรวมคือแรงต้านในการขับเคลื่อนและถ้าแรงขับเคลื่อนน้อยกว่าแรงต้านทั้งหมดรถจักรยานยนต์ไฟฟ้าจะไม่สามารถขับเคลื่อนได้

$$R_t = R_r + R_a + R_g \text{ (กรณีคิดรวมแรงต้านทางชัน)} \quad (3.7)$$

$$R_t = R_r + R_a \text{ (กรณีทางเรียบ)} \quad (3.8)$$

### 3.12 กำลังไฟฟ้าที่ใช้ในการขับเคลื่อน

คำนวณหา กำลังไฟฟ้าที่ใช้ในการขับเคลื่อน เพื่อให้ได้ความเร็วที่ 40 กิโลเมตรต่อชั่วโมง ตามความต้องการเนื่องจากรถวิ่งด้วยอัตราเร่งคงที่

โดยแรงขับเคลื่อนที่ล้อ  $F =$  หาได้จาก  $Rt$

กำลังขับเคลื่อนที่ล้อหาได้จาก

$$P_w = \frac{FV}{3.6} \quad (3.9)$$

โดยที่  $P_w =$  กำลังเคลื่อนที่ล้อ  $W$

$F =$  แรงขับเคลื่อน  $N$

$V =$  ความเร็วที่ใช้  $km/h$

### 3.13 ทอร์กและกำลังที่ส่งได้

ในการสร้างรถจักรยานยนต์ไฟฟ้าต้องคำนึงถึงทอร์กของมอเตอร์เพื่อให้สามารถรับโหลด ตามการออกแบบรถจักรยานยนต์ไฟฟ้า

$$T_e = \frac{60 P_m}{2\pi N} \quad (3.10)$$

โดยที่  $T_m =$  ทอร์ก

$P_m =$  กำลังของมอเตอร์

$N =$  จำนวนรอบต่อวินาที

### 3.14 คำนวณหาขนาดแบตเตอรี่ที่ใช้

รถจักรยานยนต์ไฟฟ้าต้องใช้พลังงานจากแบตเตอรี่ในการขับเคลื่อนจึงต้องคำนวณให้ได้ ค่ากระแสที่มอเตอร์ต้องการเพื่อประสิทธิภาพการทำงานของมอเตอร์ที่สมบูรณ์

$$I_a = \frac{P_e}{C_a} \quad (3.11)$$

เมื่อ  $I_a =$  กระแสที่ใช้

$P_e =$  กำลังมอเตอร์

$C_a =$  เซลล์แบตเตอรี่



### 3.15 การคำนวณและการออกแบบ

ในการสร้างรถจักรยานยนต์ไฟฟ้านั้นต้องมีการออกแบบเพื่อให้ได้ขอบเขตของโครงสร้างต่างๆที่สวยงามและ มีความสำคัญในทางวิศวกรรมที่เหมาะสม

น้ำหนักรถ	45	kg
รัศมีล้อ	0.19	m
พื้นที่หน้าตัดรถ	0.94 x 0.6	m <sup>2</sup>
สัมประสิทธิ์ในการต้านอากาศ	0.031	
คิดที่ความเร็วประมาณ	40	km/h

### 3.16 การคำนวณหาแรงต้านทั้งหมดจาก

การขับเคลื่อนรถจักรยานยนต์ไฟฟ้านั้นกล่าวถึงแรงต้านรวมคือแรงต้านในการขับเคลื่อน และถ้าแรงขับเคลื่อนน้อยกว่าแรงต้านทั้งหมดรถจักรยานยนต์ไฟฟ้าจะไม่สามารถขับเคลื่อนได้

$$R_t = R_r + R_a + R_g \quad (3.12)$$

โดยที่  $R_t$  = แรงต้านทานทั้งหมด

$R_r$  = แรงต้านทานการหมุนของล้อ

$R_a$  = แรงต้านทานอากาศ

$R_g$  = แรงต้านทานความชัน

**แรงต้านทานการหมุนของล้อหาได้จาก**

$$R_r = K_r \times W \quad (3.13)$$

โดยที่  $K_r$  = สัมประสิทธิ์แรงต้านทานการหมุนของล้อ(0.015)

$V$  = ความเร็ว km/ h

$W$  = น้ำหนักรถ

$$\therefore R_r = 0.015 \times 180 \times 9.81 = 26.49 \text{ kN}$$

**แรงต้านทานอากาศหาได้จาก**

$$R_a = K_a \cdot A \cdot V^2 \quad (3.14)$$

โดยที่  $K_a =$  สัมประสิทธิ์แรงต้านทานอากาศ (0.031)

$A =$  พื้นที่หน้าตัดรถ  $m^2$

$V^2 =$  ความเร็ว

$$\therefore R_a = 0.031 \times 0.564 \times 40^2 = 27.97 \text{ kN}$$

**แรงต้านทานความชัน**

$$R_g = mg \sin \theta \quad (3.15)$$

โดยที่  $m =$  น้ำหนัก  $kg$

$g =$  ค่าโน้มถ่วง

$\sin \theta =$  มุมความชัน 15 องศา

$$\therefore R_g = 180 \times 9.81 \sin 15 = 457.02 \text{ kN}$$

**ค่าความต้านทานรวมทั้งหมดมีค่าเท่ากับ**

$$R_t = 26.49 + 27.97 + 457.02 = 511.48 \text{ kN (กรณีทางชัน)} \quad (3.16)$$

$$R_t = 26.49 + 27.97 = 54.46 \text{ kN (กรณีทางเรียบ)} \quad (3.17)$$

เลือก  $R_t = 54.46 \text{ kN}$  (กรณีทางเรียบ) เพราะโครงการนี้ออกแบบให้ใช้สำหรับทางเรียบ

### 3.17 คำนวณหาค่าพลังงานไฟฟ้าที่ใช้ในการขับเคลื่อน

คำนวณหาค่าพลังงานไฟฟ้าที่ใช้ในการขับเคลื่อน เพื่อให้ได้ความเร็วที่ 40 กิโลเมตรต่อชั่วโมงตามความต้องการเนื่องจากรถวิ่งด้วยอัตราเร่งคงที่

สมการ

โดยที่แรงขับเคลื่อนที่ล้อ  $F =$  หาได้จาก  $R_t$

กำลังขับเคลื่อนที่ล้อหาได้จาก

$$P_w = \frac{FV}{3.6} \quad (3.18)$$

โดยที่  $P_w =$  กำลังเคลื่อนที่ล้อ  $W$

$F =$  ค่าความต้านทาน

$V =$  ความเร็วที่ใช้  $km/h$

$$F_w = \frac{54.46 \times 40}{3.6} = 605.11 \text{ W}$$

### 3.18 คำนวณหาสมรรถนะของรถ

กำลังมอเตอร์หาได้จาก

$$P_m = \frac{100 \times P_w}{\text{ประสิทธิภาพ}} \quad (3.19)$$

โดยที่  $P_m$  = กำลังมอเตอร์

$P_w$  = กำลังขับเคลื่อนที่ล้อ

ประสิทธิภาพ = คิดที่ 90 %

$$P_m = \frac{100 \times 605.11}{90} = 672.34 \text{ W}$$

เลือกใช้ขนาดมอเตอร์ 500 W

### 3.19 ขับเคลื่อนรถไฟฟ้าให้ได้ความเร็วที่เราต้องการ

$$N = \frac{(v)(1000)}{(2\pi r)(60)} \quad (3.20)$$

$V$  = ความเร็วรถไฟฟ้า km / h

$r$  = รัศมีล้อรวมยาง 0.19m

เมื่อต้องการให้รถวิ่งที่ความเร็ว (V) 40 km / h

$$N = \frac{(40)(1000)}{(2\pi)(0.19)(60)} = 558.44 \text{ r.p.m}$$

เลือกใช้รอบของมอเตอร์ 558.44 r.p.m

### 3.20 คำนวณหากระแสมอเตอร์ที่ใช้

$$P = VI \quad (3.21)$$

เมื่อแรงดัน (V) = 24 โวลต์ (V)

$$I = \frac{P}{V} \quad (3.22)$$

$$I = \frac{500}{24} = 20.83 \text{ A}$$

กระแสมอเตอร์ที่ใช้ 20.83 A

## บทที่ 4

### การทดสอบและผลการทดสอบ

#### 4.1 วงจรควบคุมความกว้างของสัญญาณพัลส์ (P.W.M.)

จากวงจรควบคุมความกว้างของสัญญาณพัลส์ต้องการให้ทำงานที่ความถี่คงที่ และ  $t_{on}$ ,  $t_{off}$  สามารถเปลี่ยนแปลงได้ ความถี่ที่ใช้ในโครงการนี้ 10 KHz วงจรควบคุมความกว้างของสัญญาณพัลส์ได้ใช้ไอซี MC34060 ซึ่งเป็น ไอซีสำเร็จรูป เราสามารถหาค่า  $R_T$  และ  $C_T$  ได้จากการกำหนดค่า  $C_T$  เท่ากับ  $0.01 \mu\text{F}$  ค่าความถี่เท่ากับ 10 KHz ดังนั้นหาค่า  $R_T$  ด้วยสมการ

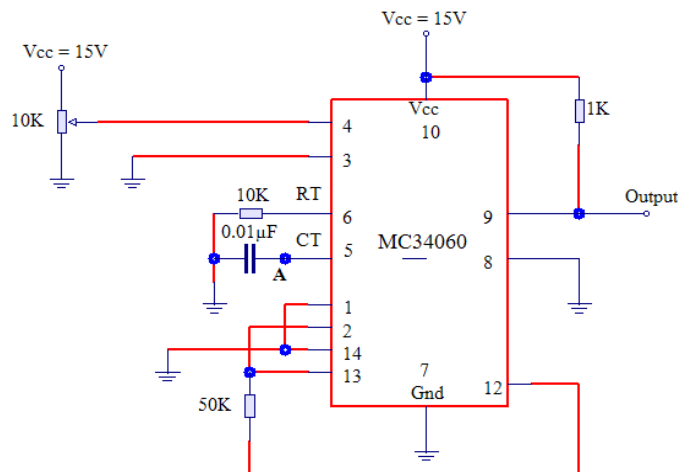
$$f_{\text{osc}} = \frac{1.2}{R_T C_T} \quad (4.1)$$

$$R_T = \frac{1.2}{R_T C_T}$$

$$R_T = \frac{1.2}{(0.01 \times 10^{-6})(10 \times 10^3)}$$

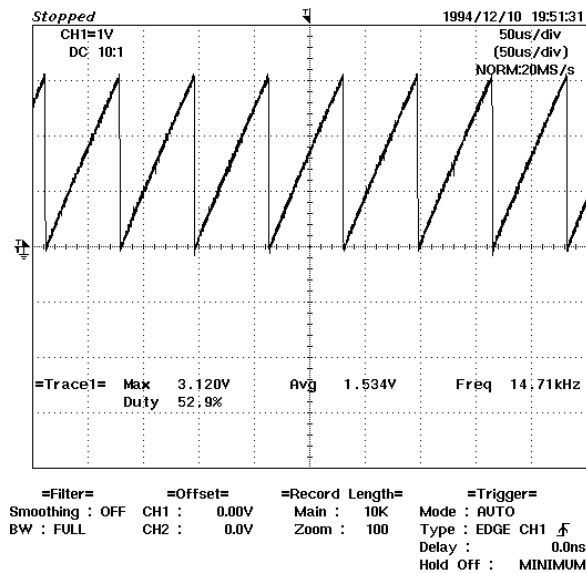
$$R_T = 12 \text{ กิโลโอห์ม}$$

ดังนั้นจึงได้ค่า  $R_T = 12$  กิโลโอห์ม เมื่อทำการทดลองแล้วค่าของความถี่ได้ตามต้องการคือ 10 KHz ทำการเปลี่ยนค่าของ  $C_T$  ให้มากขึ้นจะทำให้สัญญาณพินเลื่อย มีความชันมากขึ้น



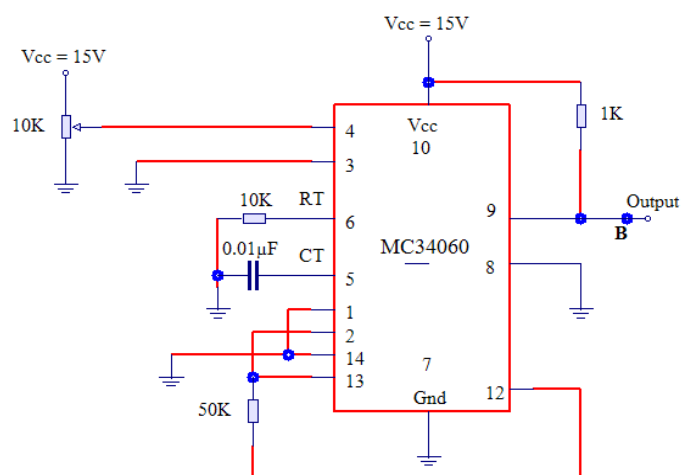
ภาพที่ 4.1 แสดงการวัด Output ของ คาปาซิเตอร์ (C) ที่จุด A

จากภาพที่ 4.1 แสดงการวัด Output ของ คาปาซิเตอร์ (C) ที่จุด A โดยใช้ไอซีเบอร์ MC34060A จะถูกควบคุมจากระดับแรงดันไฟฟ้ากระแสตรงที่ป้อนเข้าทางอินพุตที่ขา 4 ที่ความถี่ 10 KHz ค่าความถี่ของสัญญาณเอาต์พุตจะถูกกำหนดที่ค่าความต้านทาน ( $R_T$ ) และค่าคาปาซิเตอร์ ( $C_T$ ) ตามสมการที่ 3.2



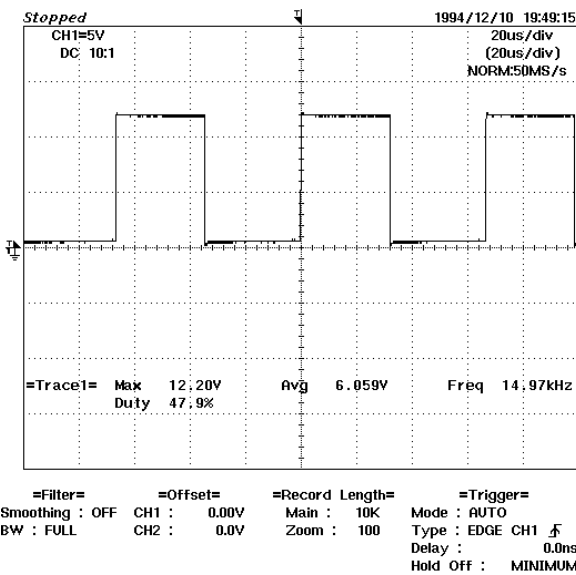
- ปรับสโคปที่ Volt/Div = 1 , Time/Div = 50  $\mu$ sec ที่สายโปรพ =  $\times 10$

ภาพที่ 4.2 แสดงภาพสัญญาณพินเลี้ยงของ คาปาซิเตอร์ (C) ที่จุด A



ภาพที่ 4.3 แสดงการวัด Output ของสัญญาณ P.W.M. ที่จุด B

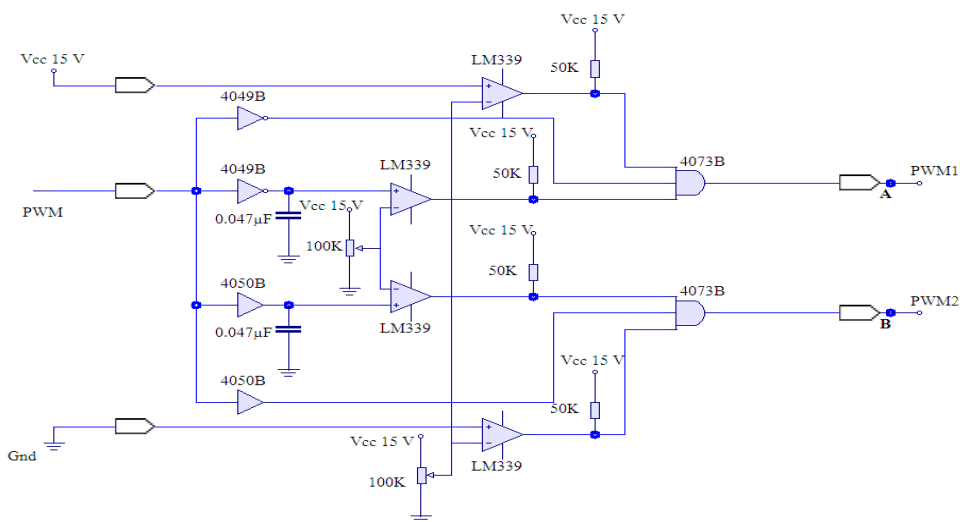
จากภาพที่ 4.3 แสดงการวัด Output ของสัญญาณ P.W.M. ที่จุด B จะได้สัญญาณพัลส์ออกมาเป็นรูปคลื่นสี่เหลี่ยม โดยที่สัญญาณ Output ที่ได้มาจากค่าความต้านทาน ( $R_T$ ) = 10 กิโลโห์ม และค่าคาปาซิเตอร์ ( $C_T$ ) = 0.01  $\mu$ F สัญญาณ Output ที่ออกมาจะนำไปควบคุมวงจรเลื่อนเฟส



- ปรับสโคปที่ Volt/Div = 5, Time/Div = 20  $\mu$ sec ที่สายโปรพ =  $\times 10$

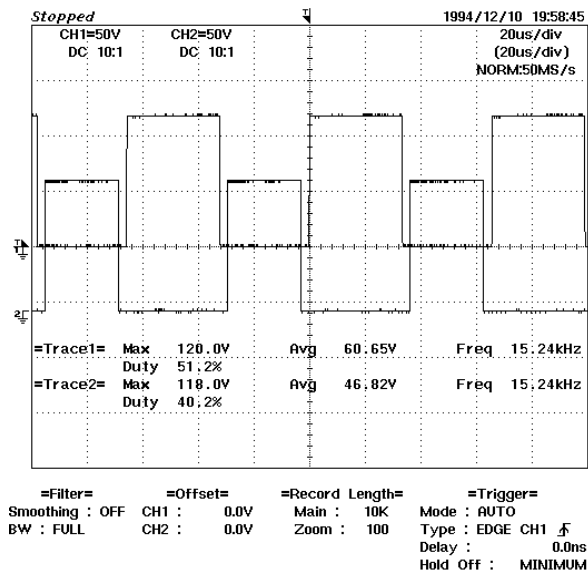
ภาพที่ 4.4 แสดงภาพสัญญาณสี่เหลี่ยมของ P.W.M. ที่จุด B

### 4.2 วงจรเลื่อนเฟส (Phase Shift)



ภาพที่ 4.5 แสดงการวัดสัญญาณ Output ของวงจรเลื่อนเฟส ที่จุด A,B

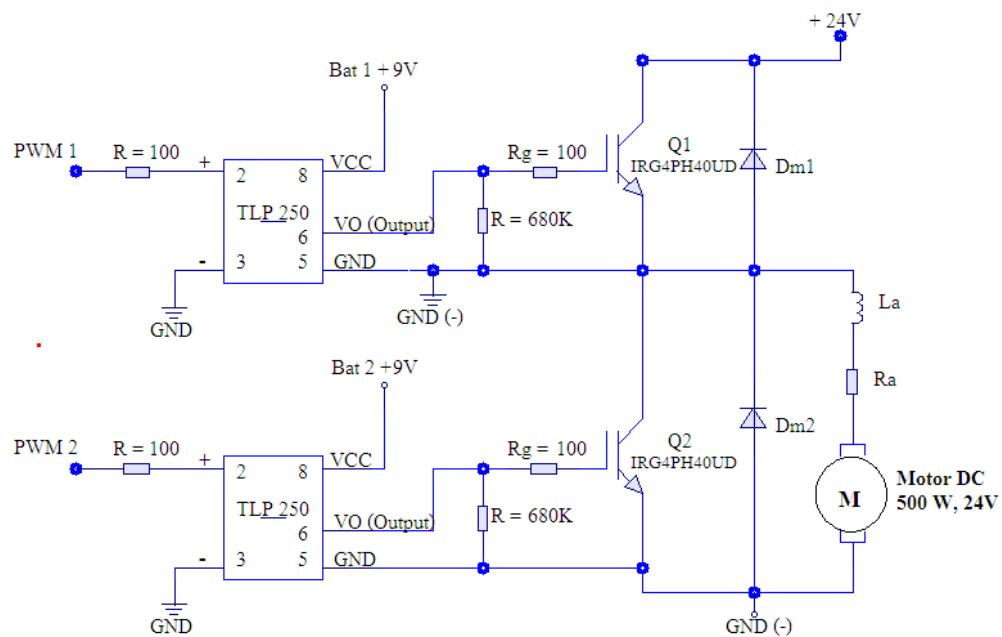
จากภาพที่ 4.5 แสดงการวัดสัญญาณ Output ของวงจรเลื่อนเฟส เนื่องจากการออกแบบการขับเคลื่อนมอเตอร์ในที่นี่เป็นแบบ 2 ควอดแดนซ์ จึงมีโอกาที่จะทำงานพร้อมกันได้ อาจทำให้เกิดการลัดวงจรที่ไอจีบีที จึงได้ใช้วงจรเลื่อนเฟสควบคุมสัญญาณทั้งสองให้มีการหน่วงเวลาเพื่อป้องกันการลัดวงจรที่ไอจีบีทีส่วนความต้านทานปรับค่าได้มีไว้ใช้ในกรณีที่ต้องการควบคุม Dead Time



- ปรับสโคปที่ Volt/Div = 50 , Time/Div = 20  $\mu$ sec ที่สายโปรพ =  $\times 10$

ภาพที่ 4.6 แสดงสัญญาณ Output ของวงจรเลื่อนเฟส ที่จุด A,B และ Dead Time

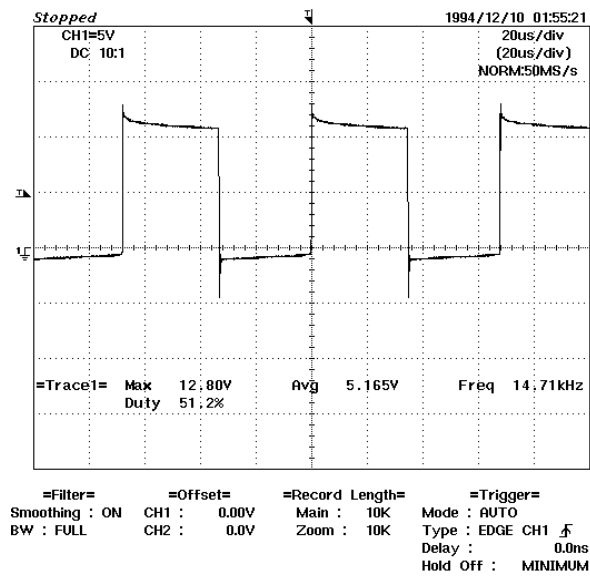
### 4.3 วงจรขับเกตไอจีบีที (Gate Driver Circuit)



ภาพที่ 4.7 แสดงวงจรการขับเกตไอจีบีที แบบ 2 ควบตแดนซ์ โดยใช้ไอซี TLP250

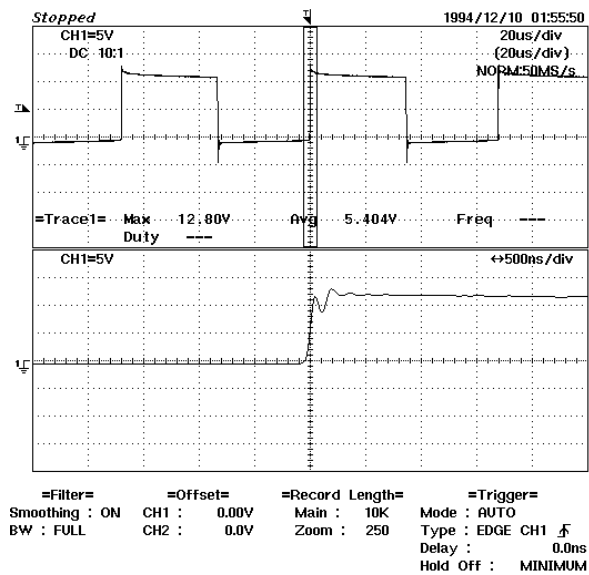
จากภาพที่ 4.7 แสดงการใช้ไอซี TLP250 ขับขากเกต แบบ 2 ควบตแดนซ์ โดยมีขาอินพุต 2 ขาคือ PWM1 และ PWM2 ซึ่งรับสัญญาณจากวงจรสร้างสัญญาณ พี.ดับเบิลยู.เอ็ม.(P.W.M.) ที่ผ่านวงจรเลื่อนเฟสแล้ว ในที่นี้เลือกใช้ ไอจีบีที ของบริษัท International Rectifier(IR) เบอร์ IRG4PH40UD อัตราทนแรงดันสูงสุดจะเท่ากับ 1200 โวลท์ การตอบสนองความถี่ 1-10 กิโลเฮิรต์ อัตราทนกระแสต่อเนื่องที่คอลเลคเตอร์ 41 แอมแปร์ที่อุณหภูมิ 25 องศาเซลเซียส





- ปรับสโกลป์ที่ Volt/Div = 50 , Time/Div = 50  $\mu$ sec ที่สายโปรพ =  $\times 10$

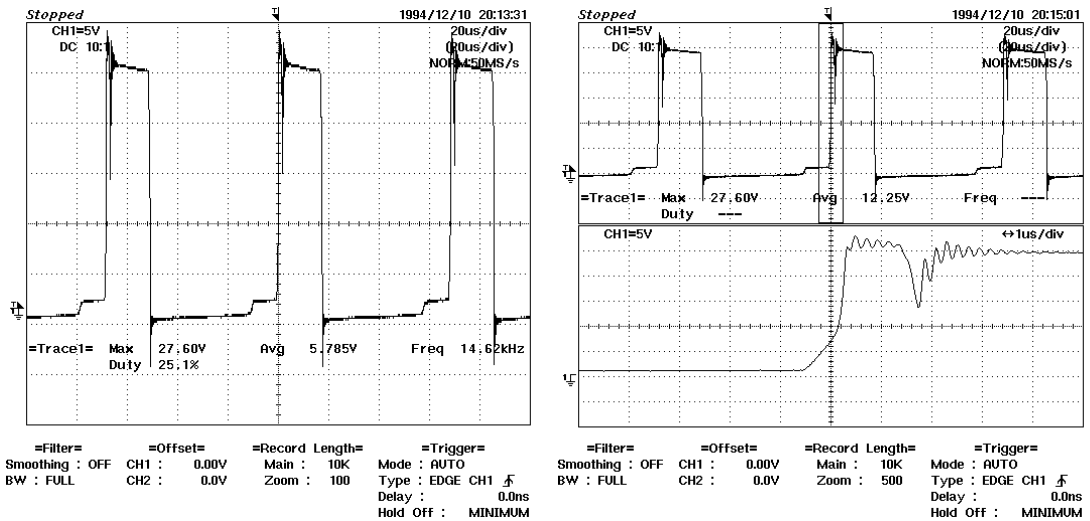
ภาพที่ 4.8 แสดงสัญญาณ Output ของMotor ที่จุด A



ภาพที่ 4.9 รูปคลื่นแรงดันของ Motor ที่จุด A

#### 4.4 การทดลองวัดสัญญาณตัวชี้โซ่เกิดเทียบกับแรงดันที่จ่ายให้มอเตอร์

การทดลองปรับความถี่ 25 เปอร์เซ็นต์



ก.

ข.

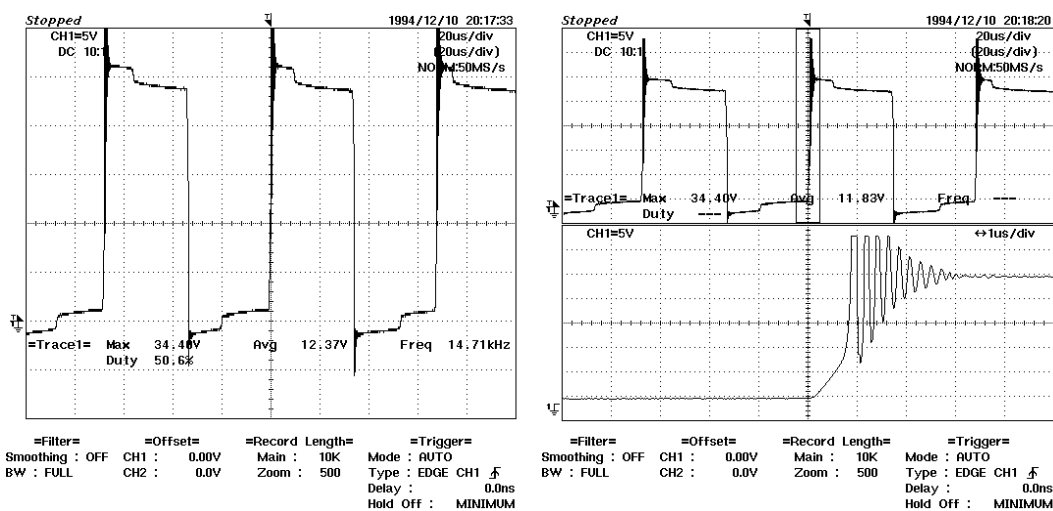
ภาพที่ 4.10 การปรับความถี่ 25 เปอร์เซ็นต์

ก. แสดงสัญญาณการปรับแรงดันของ Motor ที่จุด A

ข. ภาพขยายของสัญญาณแรงดันเอาต์พุตที่ความกว้างของพัลส์

จากภาพที่ 4.10 ก. แสดงสัญญาณการปรับภาพสัญญาณแรงดันที่ขั้วของอาร์เมเจอร์เมื่อจ่ายแรงดันไฟฟ้ากระแสตรงให้กับมอเตอร์จากในภาพนี้เป็นการปรับความถี่ 25 เปอร์เซ็นต์จะเห็นว่ามีการเกิดกระเพื่อมของสัญญาณ (Overshoot) ที่สูงมาก ๆ เนื่องจากในการขับมอเตอร์นี้มีโหลดของมอเตอร์อยู่ด้วยจึงมีการเกิดกระเพื่อมของสัญญาณสูง เป็นอีกเท่าของรูปพัลส์ของสัญญาณชอปเปอร์สัญญาณที่กระเพื่อมนี้ถ้ามีมากอาจทำให้เกิดความเสียหายกับวงจรได้ภาพที่ 4.10 ข. ภาพขยายของสัญญาณ (Overshoot) ที่เกิดจากการปรับความถี่ 25 เปอร์เซ็นต์ จะเห็นว่ามีการเกิดแรงดันพุ่งเกินเป็นสองเท่าของแรงดันที่ใช้งานอยู่เนื่องจากการปิดของสวิตช์ของไอจีบีทีในช่วงขณะ และจะเห็นภายในรูปสัญญาณขอมอเตอร์ที่ทำให้เกิดแรงดันด้านกลับ (BackEmf) ที่ไดโอดไหลคืนพลังงานและแรงบิดที่โหลด ณ ระดับความเร็วคงที่ ผู้ออกแบบจึงต้องคำนึงถึงรายละเอียดในจุดนี้เพื่อใช้ในการออกแบบไอจีบีทีที่เหมาะสมมาใช้งานที่สามารถทนแรงดันพุ่งเกินได้จะไม่ทำให้ไอจีบีทีเสียหาย

## การทดลองปรับความถี่ไซเคิลที่ 50 เปอร์เซ็นต์



ก.

ข.

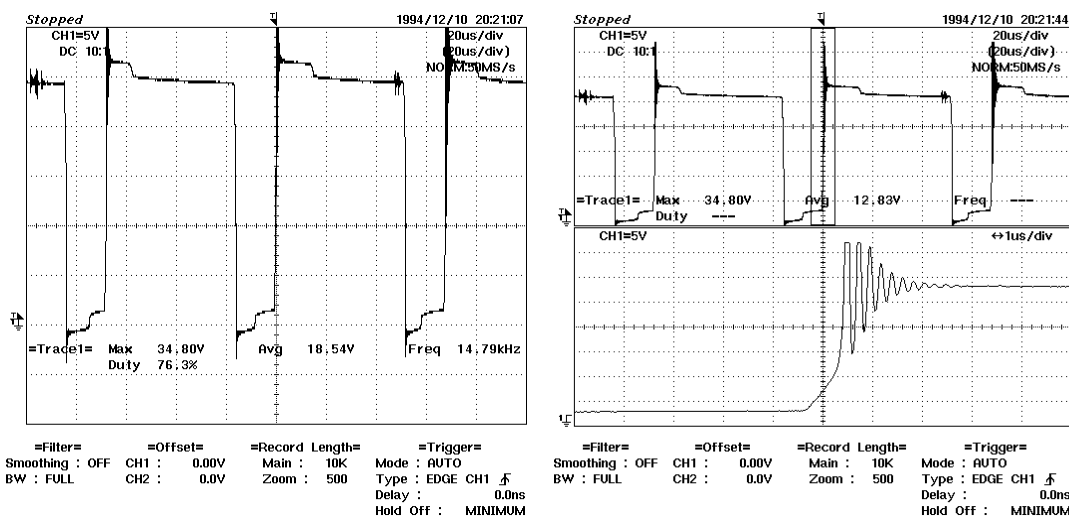
## ภาพที่ 4.11 การปรับความถี่ไซเคิล 50 เปอร์เซ็นต์

ก. แสดงสัญญาณการปรับแรงดันของ Motor ที่จุด A

ข. ภาพขยายของสัญญาณแรงดันเอาต์พุตที่ความกว้างของพัลส์

จากภาพที่ 4.11 ก. แสดงสัญญาณการปรับภาพสัญญาณแรงดันที่ขั้วของอาร์เมเจอร์เมื่อจ่ายแรงดันไฟฟ้ากระแสตรงให้กับมอเตอร์จากในภาพนี้เป็นการทำงานปรับความถี่ไซเคิลที่ 50 เปอร์เซ็นต์ จะเห็นว่าสัญญาณพัลส์มีความกว้างเพิ่มขึ้นและในทางเดียวกันก็จะมีเกิดการเกิดแรงดันพุ่งเกิน (Overshoot) ที่สูงมาก ๆ เนื่องจาก ในการขับมอเตอร์นี้ไม่มีโหลดของมอเตอร์อยู่ด้วย จึงมีการกระเพื่อมของสัญญาณสูงเป็นสองเท่าของรูปพัลส์ของสัญญาณชอปเปอร์สัญญาณพุ่งเกินนี้ถ้ามีมากอาจทำให้เกิดความเสียหายกับวงจรได้ภาพที่ 4.11 ข. ภาพขยายของสัญญาณ (Overshoot) ที่การปรับความถี่ไซเคิลที่ 50 เปอร์เซ็นต์ จะเห็นว่ามีเกิดการเกิดแรงดันพุ่งเกินเป็นสองเท่าของแรงดันที่ใช้งานอยู่ เนื่องจากการปิดของสวิทช์ของไอจีบีทีในช่วงขณะ และจะเห็นภายในรูปสัญญาณของมอเตอร์ที่ทำให้เกิดแรงดันต้านกลับ (BackEmf) ที่ไดโอดโหลดคืนพลังงานและแรงบิดที่โหลด ณ ระดับความเร็วคงที่ผู้ออกแบบจึงต้องคำนึงถึงรายละเอียดในจุดนี้เพื่อใช้ในการออกแบบไอจีบีทีที่เหมาะสมกับการนำมาใช้งานที่สามารถทนแรงดันพุ่งเกินนี้ได้จะไม่ทำให้เกิดความเสียหายแก่อุปกรณ์ไอจีบีที

## การทดลองปรับความเร็วไซเคิลที่ 75 เปอร์เซ็นต์



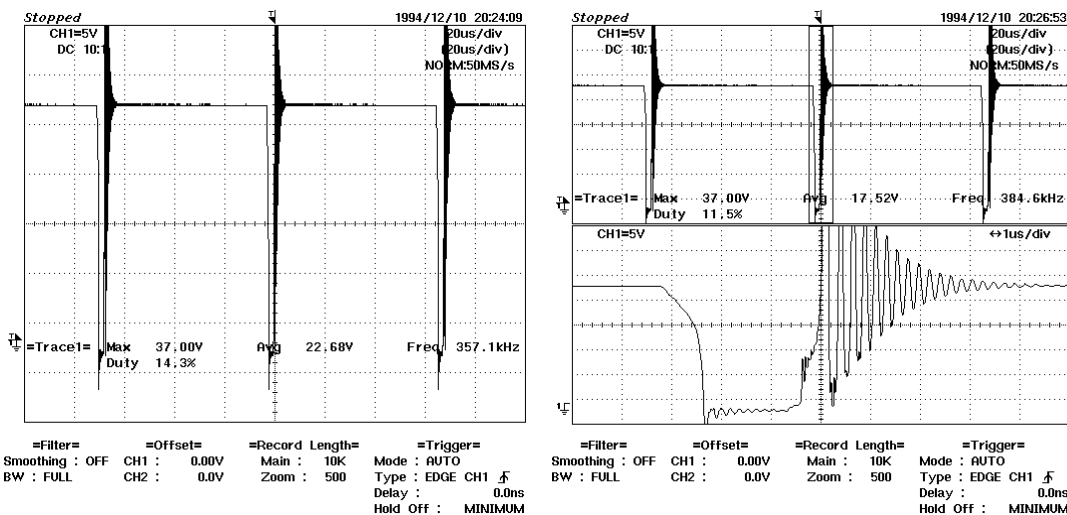
ภาพที่ 4.12 การปรับความเร็วไซเคิล 75 เปอร์เซ็นต์

ก. แสดงสัญญาณการปรับแรงดันของ Motor ที่จุด A

ข. ภาพขยายของสัญญาณแรงดันเอาท์พุทที่ความกว้างของพัลส์

จากภาพที่ 4.12 ก. ภาพแสดงสัญญาณการปรับภาพสัญญาณแรงดันที่ขั้วของอาร์เมเจอร์เมื่อจ่ายแรงดันไฟฟ้ากระแสตรงให้กับมอเตอร์จากในภาพนี้เป็นการปรับ ความเร็วไซเคิลที่ 75 เปอร์เซ็นต์จะเห็นว่าสัญญาณพัลส์มีความกว้างเพิ่มขึ้นและในทางเดียวกันก็จะมีเกิดการกระเพื่อมของสัญญาณ (Overshoot) ที่สูงมากตามเนื่องจากการจับมอเตอร์นี้ มีโหลดของมอเตอร์ซึ่งเป็นขดลวดด้วย จึงทำให้มีการเกิดการกระเพื่อมของสัญญาณสูงเป็นอีกเท่าของรูปพัลส์ของสัญญาณขอปเปอร์สัญญาณที่กระเพื่อมนี้ถ้ามีมากอาจทำให้เกิดความเสียหายกับวงจรได้ภาพที่ 4.12 ข. ภาพขยายของสัญญาณ (Overshoot) ที่การปรับความเร็วไซเคิลที่ 75 เปอร์เซ็นต์จะเห็นว่ามีการเกิดแรงดันพุ่งเกินของสัญญาณชั่วขณะ (Tran Sient) แต่จะสังเกตได้ว่าแรงดันพุ่งเกินนี้จะมีน้อยกว่าการปรับความเร็วไซเคิลที่ 50 เปอร์เซ็นต์เนื่องจากมอเตอร์หมุนด้วยความเร็วรอบสูงจึงทำให้สภาวะแรงดันพุ่งเกินชั่วขณะนั้นมีน้อยกว่าการปรับความเร็วไซเคิลที่ต่ำๆและจะเห็นภายในรูปสัญญาณขอมอเตอร์ที่ทำให้เกิดแรงดันต้านกลับ (BackEmf) ที่ไดโอดขณะไหลคืนพลังงานและแรงบิดที่โหลด ณ ระดับความเร็ววงที่

การทดลองปรับความถี่ไซเคิลเกือบ 100 เปอร์เซ็นต์



ภาพที่ 4.13 การปรับความถี่ไซเคิลเกือบ 100 เปอร์เซ็นต์

- ก. แสดงสัญญาณการปรับแรงดันของ Motor ที่จุด A
- ข. ภาพขยายของสัญญาณแรงดันเอาท์พุทที่ความกว้างของพัลส์

จากภาพที่ 4.13 ก. ภาพแสดงสัญญาณการปรับภาพสัญญาณแรงดันที่ขั้วของอาร์เมเจอร์เมื่อจ่ายแรงดันไฟฟ้ากระแสตรงให้กับมอเตอร์จากในภาพนี้เป็นการปรับ ความถี่ไซเคิลเกือบ 100 เปอร์เซ็นต์ จะเห็นว่าสัญญาณพัลส์มีความกว้างเพิ่มขึ้นและในทางเดียวกันก็จะมีเกิดการกระเพื่อมของสัญญาณ (Overshoot) ที่สูงมาก ๆ ตาม เนื่องจากการขับมอเตอร์นี้ มีโหลดของมอเตอร์ซึ่งเป็นขดลวดด้วยจึงทำให้มีการเกิดการกระเพื่อมของสัญญาณสูงเป็นอีกเท่าของรูปพัลส์ของสัญญาณชอปเปอร์สัญญาณที่กระเพื่อมนี้ถ้ามีมากอาจทำให้เกิดความเสียหายกับวงจรได้ภาพที่ 4.13 ข. ภาพขยายของสัญญาณ (Overshoot) ที่การปรับความถี่ไซเคิลเกือบ 100 เปอร์เซ็นต์จะเห็นว่ามีการเกิดแรงดันพุ่งเกินของสัญญาณชั่วขณะ (Tran Sient) แต่จะสังเกตได้ว่าแรงดันพุ่งเกินนี้จะมีมากกว่าการปรับความถี่ไซเคิลที่ 75 เปอร์เซ็นต์เนื่องจากมอเตอร์หมุนด้วยความเร็วรอบสูงจึงทำให้สภาวะแรงดันพุ่งเกินชั่วขณะนั้นมีน้อยกว่าการปรับความถี่ไซเคิลที่ต่ำๆ และจะเห็นภายในรูปสัญญาณขอมอเตอร์ที่ทำให้เกิดแรงดันต้านกลับ (BackEmf) ที่ใด โอดขณะไหลคืนพลังงานและแรงบิดที่โหลด ณ ระดับความเร็วคงที่

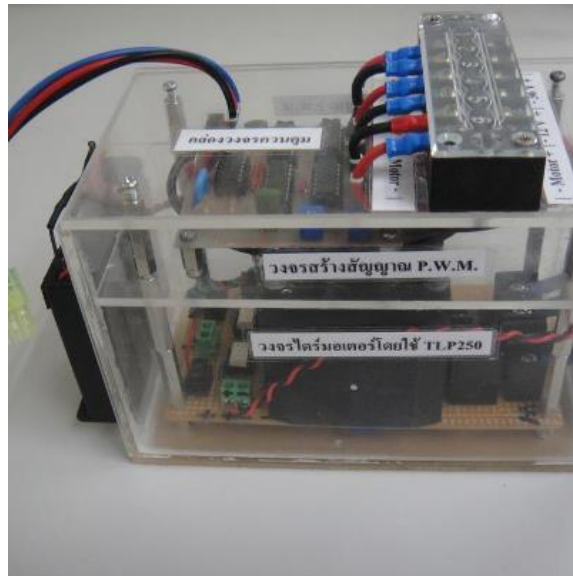
#### 4.5 ข้อมูลทางเทคนิคของรถจักรยานยนต์ไฟฟ้า



ภาพที่ 4.14 แสดงด้านหน้าของตัวรถจักรยานยนต์ไฟฟ้า



ภาพที่ 4.15 แสดงด้านข้างของตัวรถจักรยานยนต์ไฟฟ้า



ภาพที่ 4.16 แสดงวงจรควบคุมรถจักรยานยนต์ไฟฟ้า

เครื่องต้นกำลัง	มอเตอร์ไฟฟ้ากระแสตรงชนิดกระตุ้นแยก
แรงเคลื่อนไฟฟ้าพิกัดมอเตอร์	24 V
กระแสกระตุ้นขดลวดอาร์เมเจอร์	27 A
กำลังไฟฟ้ามอเตอร์	500 W
แหล่งจ่ายไฟฟ้า	แบตเตอรี่ 12 V 21Ahr จำนวน 3 ชุด
ต่ออนุกรมได้แรงเคลื่อน	36 V กระแส 21Ahr
แหล่งจ่ายวงจรควบคุม	15 V
น้ำหนักรถโดยประมาณ	45 kg
น้ำหนักคนโดยประมาณ	80 kg
น้ำหนักแบตเตอรี่ก้อนละ 6kg ในที่นี้ ใช้ 3 ก้อน	18 kg
ความกว้างของตัวรถ	0.60 m
ความสูงของตัวรถจากล้อถึงมือจับ	0.94m
ความสูงของตัวรถจากล้อถึงเบาะนั่ง	0.75 m
ความยาวของตัวรถ	1.50 m
รัศมีของล้อรวมล้อยาง	0.19 m
ใช้สายพานเป็นตัวส่งกำลังจากมู่เล่ย์ตัวหน้าซึ่งติดกับมอเตอร์ โดยติดตั้งมอเตอร์ไว้ที่ล้อหลัง	

หมายเหตุ น้ำหนักของรถและน้ำหนักของคนอาจจะมีการเปลี่ยนแปลงภายหลัง

## บทที่ 5

### สรุป

จากการทำโครงการรถจักรยานยนต์ไฟฟ้าได้นำมอเตอร์ไฟฟ้ากระแสตรงมาติดตั้งในโครงสร้างของรถจักรยานยนต์ไฟฟ้าเพื่อให้เหมาะสมสำหรับติดตั้งมอเตอร์ดีซี 24 โวลต์ 500 วัตต์ สำหรับขับเคลื่อนการติดตั้งมอเตอร์ไว้ที่ล้อหลังโดยใช้สายพานเป็นตัวส่งกำลังจากมู่เล่ย์ตัวหน้าติดกับตัวมอเตอร์ไปยังมู่เล่ย์หลังซึ่งติดกับล้อหลังของรถจักรยานยนต์ไฟฟ้า โดยใช้วงจรชอปเปอร์ 2 ควอดแคนซ์ มาเป็นวงจรควบคุม ออกแบบชุดวงจรควบคุมสัญญาณโดยใช้ไอซีเบอร์ MC34060A ในการสร้างสัญญาณ P.W.M. และชุดวงจรเลื่อนเฟสสัญญาณโดยใช้ไอซีเบอร์ LM339N, CD4049UBE, CD4050BE และ HEF4073BP ในส่วนของวงจรขับมอเตอร์ใช้ไอซี TLP250 และ IGBT เบอร์ IRG4PC40U เพื่อป้องกันให้กับไอจีบีทีซึ่งทำหน้าที่เป็นตัวสวิตซ์ซึ่งให้แก่วงจรที่ใช้ในการควบคุมการไหลของกระแสเข้าสู่มอเตอร์ ถ้าคิวดีไซเคลมีค่าน้อยกระแสจะไหลน้อยมอเตอร์จะหมุนช้าทำความเร็วช้า แต่ถ้าคิวดีไซเคลมีค่ามากกระแสที่ไหลมากมอเตอร์จะหมุนได้เร็วทำความเร็วมากขึ้น ซึ่งรถจักรยานยนต์ไฟฟ้านี้สามารถวิ่งด้วยน้ำหนักรถจักรยานยนต์กับน้ำหนักคนไม่เกิน 180 กิโลกรัม จากการที่ผู้ทำโครงการนี้ได้ทำการขับขี่ ในการขับขี่นั้นไม่ควรปรับระดับความเร็วแบบเฉียบพลัน เพราะจะเกิดแรงดันพุ่งเกินสูงมาก อาจทำให้ IGBT เสียหาย จึงต้องค่อยๆ ปรับทีละน้อย เพื่อป้องกันการเกิดแรงดันพุ่งเกินสูง ตัวโครงรถนั้นยังมีน้ำหนักมากเกินไป คือประมาณ 45 กิโลกรัม ควรออกแบบให้รถมีน้ำหนักลดลงสรุปโดยรวมแล้วรถไฟฟ้าคันนี้สามารถที่จะใช้งานวิ่งได้จริงและยังมีประสิทธิภาพในการใช้งานพอสมควรหากแต่จะต้องใช้อุปกรณ์และส่วนประกอบบางอย่างที่มีประสิทธิภาพ เนื่องด้วยในงบประมาณ ระยะเวลาและอุปกรณ์ที่ใช้จำกัด ในทางปฏิบัติจึงทำให้มีประสิทธิภาพของรถจักรยานยนต์ไฟฟ้าออกมาได้ไม่เต็มที่ อย่างไรก็ตาม ออกแบบไว้ **ข้อเสนอแนะ** 1. รถจักรยานยนต์ไฟฟ้าคันนี้ ถูกสร้างขึ้นมาโดยออกแบบไม่ทำให้ใช้งานหนักมากนัก ผู้ใช้ควรศึกษาวิธีการใช้งานให้ถูกต้องก่อนนำไปใช้เพื่อไม่ให้เกิดความเสียหายขึ้น ผู้ใช้ควรได้รับข้อมูลที่ถูกต้องก่อนนำไปใช้งานทุกครั้ง 2. มอเตอร์ไฟฟ้ากระแสตรงที่ใช้ในโครงการนี้เป็นแบบกระตุ้นแยก ซึ่งต้องใช้พลังงานจากแบตเตอรี่เป็นจำนวนมากซึ่งจะทำให้โหลดเพิ่มขึ้นมากไปด้วย มอเตอร์ที่เหมาะสมกับโครงการนี้คือ แบบอนุกรมใช้พลังงานจากแบตเตอรี่น้อยคุณลักษณะต่างๆดีกว่ามอเตอร์ชนิดอื่นๆ แต่มีราคาสูงมากจึงเลือกที่จะใช้มอเตอร์ชนิดกระตุ้นที่มีคุณลักษณะใกล้เคียงกับมอเตอร์ชนิดอนุกรม 3. การเบรกแบบรีเจนเนอเรทีฟ จะทำให้อุปกรณ์อิเล็กทรอนิกส์กำลังเกิดความเสียหายได้ง่าย จึงใช้การเบรกทางกลเข้ามาช่วยในการเบรกแทน และยังมีประสิทธิภาพในการเบรกที่ดีจึงนำมาใช้ในการหยุดรถ สำหรับรถจักรยานยนต์ไฟฟ้าคันนี้ 4.



คั้นเร่งของรถจักรยานยนต์ไฟฟ้าคันนี้เป็นแบบความต้านทานปรับค่าจึงทำให้เวลาใช้งานไปนานๆ จะทำให้เสื่อมสภาพลงได้ ในปัจจุบันมีคั้นเร่งที่ใช้สำหรับรถไฟฟ้าโดยตรงเป็นแบบแม่เหล็กและมีชุดควบคุมคั้นเร่งอยู่แล้ว ทางคณะผู้จัดทำโครงการนี้ได้นำมาใช้งานโดยต่อร่วมกับวงจรชอปเปอร์ แต่ทั้งสองชุดนี้ต่อใช้งานไม่เข้ากัน

## เอกสารอ้างอิง

- [1] มงคล ทองสงคราม เครื่องกลไฟฟ้ากระแสตรง พิมพ์ครั้งที่ 2 บริษัท รามาการพิมพ์ จำกัด กรุงเทพมหานคร
- [2] MhammadH.Rashid , Power Electronics circuit , Devices , and Application , Pentice Hall , 1993
- [3] มงคล ทองสงคราม 2543. อิเล็กทรอนิกส์กำลัง. พิมพ์ครั้งที่ 4 . กรุงเทพฯ. วี เจ พรินต์ติ้ง
- [4] นิमित บุญภิรมย์ “การควบคุมมอเตอร์ไฟฟ้ากระแสตรงแบบฟีดแบ็คปรับค่าด้วยตัวเอง” วิทยานิพนธ์ ภาควิศวกรรมไฟฟ้า สถาบันเทคโนโลยีพระจอมเกล้าเจ้าคุณทหารลาดกระบัง 2541
- [5] เรียงชัย นารีผล และ สำเรัง บุญเยี่ยม “การควบคุมความเร็วรอบดีซีมอเตอร์ด้วยคอมพิวเตอร์” วิทยานิพนธ์บัณฑิต คณะวิศวกรรมศาสตร์ มหาวิทยาลัยศรีปทุม 2539
- [6] Datasheet. On Semiconductor. <http://onsemi.com>

ภาคผนวก